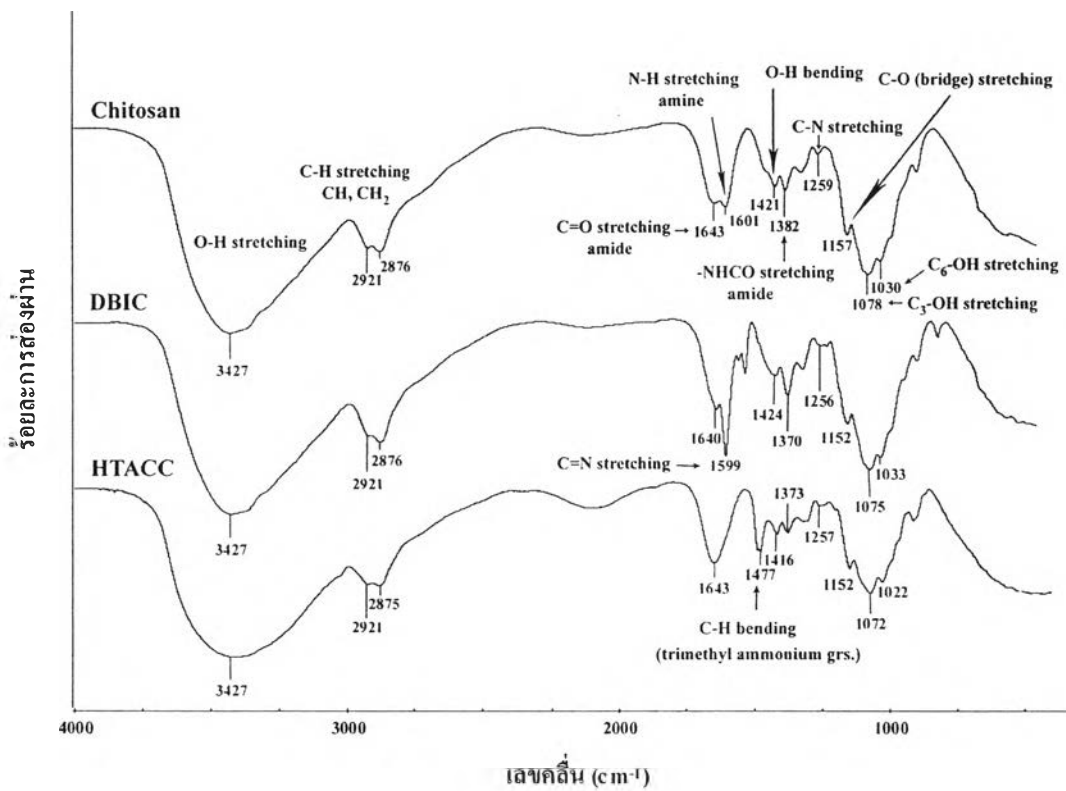




ผลการวิเคราะห์ข้อมูล

4.1 การหาหมู่ฟังก์ชันของไคโทซาน และไคโทซานดัดแปร

อินฟราเรดสเปกตรัมของไคโทซาน และไคโทซานดัดแปร DBIC และ HTACC แสดงดังภาพที่ 4.1 และ ตารางที่ 4.1



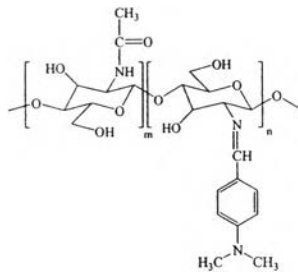
ภาพที่ 4.1 อินฟราเรดสเปกตรัมของไคโทซาน และไคโทซานดัดแปร ชนิด DBIC และ HTACC

ตารางที่ 4.1 หมู่ฟังก์ชันของไคโทซาน

เลขคลื่น (cm^{-1})	หมู่ฟังก์ชัน
3427	N-H stretching, O-H stretching
2921, 2876	C-H stretching ของหมู่ CH, CH ₂
1643	C=O stretching ของหมู่แอมไนด์
1601	N-H bending ของหมู่แอมีน
1421	O-H bending
1382	-NHCO stretching ของหมู่แอมไนด์
1259	C-N stretching
1157	C-O (bridge) stretching
1078	C ₃ -OH stretching
1030	C ₆ -OH stretching

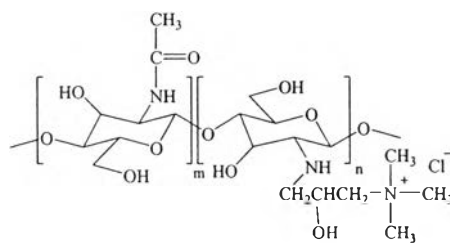
จากภาพที่ 4.1 พบพิภการดูดกลืนรังสีอินฟราเรดซ้อนทับกันระหว่าง N-H stretching และ O-H stretching ของไคโทซานที่เลขคลื่น 3427 พบพิภการดูดกลืนที่ 1421 cm^{-1} เป็นผลจาก O-H bending [Sun และคณะ, 2007] ส่วนพิภที่เลขคลื่น 2921 และ 2876 cm^{-1} เป็นผลจาก C-H stretching ของหมู่ CH และ CH₂ [Huacai และคณะ, 2006] นอกจากนี้ยังพบพิภที่มีความเข้มสูงที่เลขคลื่น 1643 แสดงถึง C=O stretching ของแอมไนด์ และที่เลขคลื่น 1601, 1382 และ 1259 cm^{-1} แสดงถึง N-H bending ของแอมีน, -NHCO stretching ของหมู่แอมไนด์ [Zhang และคณะ, 2007] และ C-N stretching [Singh และคณะ, 2009] ตามลำดับ ส่วนพิภที่เลขคลื่น 1157 cm^{-1} แสดงถึงลักษณะเฉพาะของ C-O (bridge) stretching [Huacai และคณะ, 2006; Mun และคณะ, 2008] ของไคโทซาน นอกจากนี้ยังพบพิภของ C₃-OH stretching และ C₆-OH stretching ที่เลขคลื่น 1078 และ 1030 cm^{-1} [Zhang และคณะ, 2007] ตามลำดับ

ไคโทซานดัดแปร DBIC มีโครงสร้างดังภาพที่ 4.2 จากสเปกตรัมของ DBIC ในภาพที่ 4.1 พบพิภใหม่ที่เลขคลื่น 1599 cm^{-1} ซึ่งเป็นผลจาก C=N stretching [Hakeim และคณะ, 2008] ของหมู่อิมิโน (imino group) ในไคโทซานดัดแปร DBIC ที่เกิดจากปฏิกิริยาระหว่างหมู่แอมิโนของไคโทซานกับหมู่แอลดีไฮด์ของไคเมทิลแอมิโนเบนซาลดีไฮด์ จึงยืนยันได้ว่า สารที่สังเคราะห์ได้คือ ไคโทซานดัดแปร DBIC



ภาพที่ 4.2 โครงสร้างทางเคมีของ DBIC

โคโทซานดัดแปรชนิด HTACC มีโครงสร้างดังภาพที่ 4.3 จากสเปกตรัมของ HTACC ในภาพที่ 4.1 ไม่พบพีคที่เลขคลื่น 1601 cm^{-1} (N-H bending ของหมู่เอมิโน (-NH₂)) เนื่องจากไม่มีหมู่เอมิโนในโครงสร้างของ HTACC นอกจากนี้ ยังพบการดูดกลืนแสงเพิ่มขึ้นที่เลขคลื่น 1477 cm^{-1} [Kim และคณะ, 2003] ซึ่งเป็นผลจาก C-H bending ของหมู่ไตรเมทิลแอมโมเนียม (trimethylammonium groups, -N⁺(CH₃)₃) จึงยืนยันได้ว่า สารที่สังเคราะห์ได้ คือ โคโทซานดัดแปร HTACC



ภาพที่ 4.3 โครงสร้างทางเคมีของ HTACC

4.2 ขอบเขตสี (color gamut)

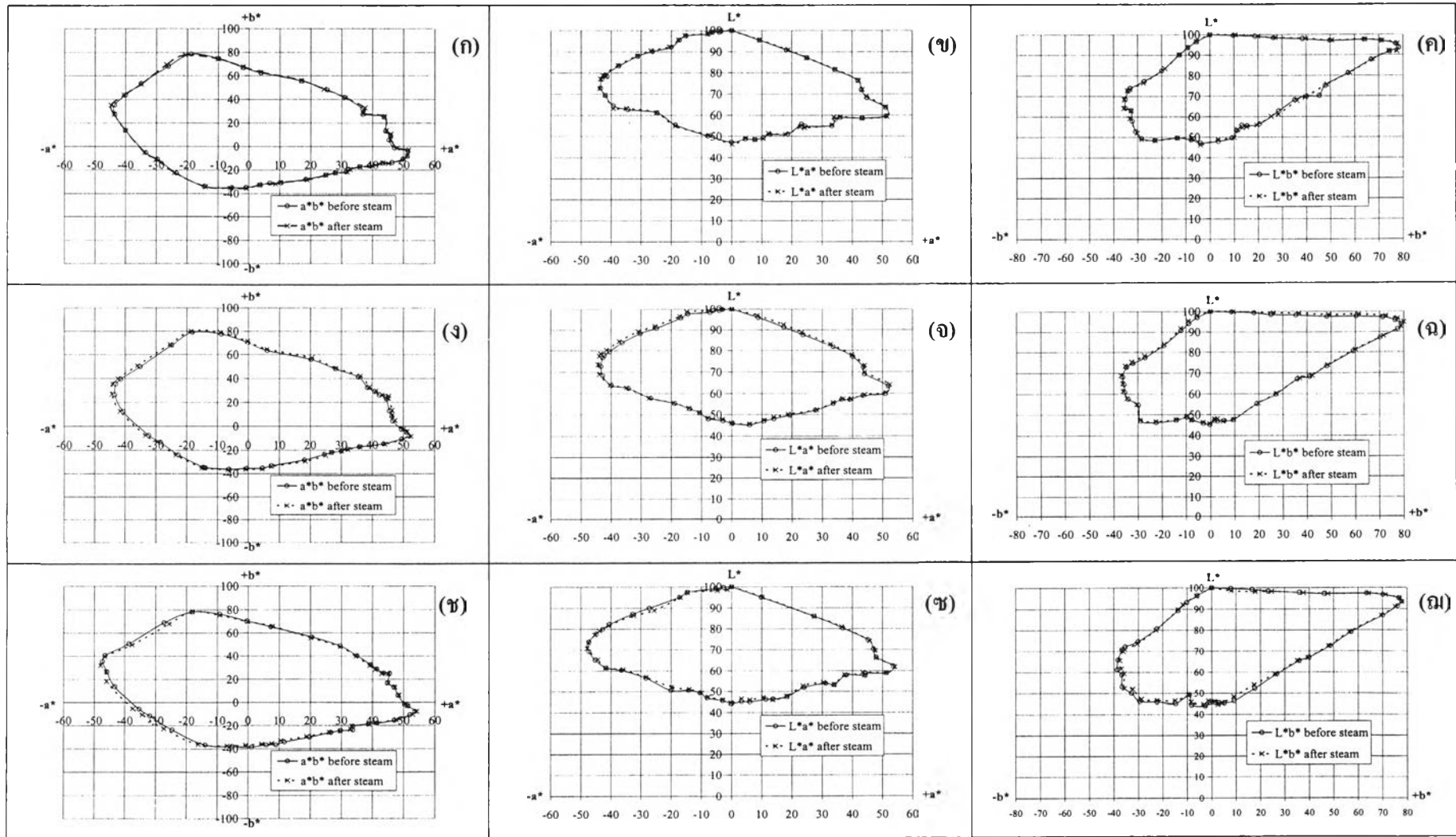
ขอบเขตสีของผ้าพอลิเอสเตอร์ที่พิมพ์ด้วยหมึกพิมพ์อิงค์เจ็ทฐานสารสี 7 สี แสดงในปริภูมิสี L*a*b* พบว่า ผ้าพอลิเอสเตอร์ที่ไม่ผ่านการปรับสภาพผิวผ้าเมื่อพิมพ์ด้วยหมึกพิมพ์อิงค์เจ็ทแล้วนำไปอบไอน้ำ ขอบเขตสีของผ้าพอลิเอสเตอร์พิมพ์ก่อนและหลังอบไอน้ำไม่แตกต่างกันดังแสดงในภาพที่ 4.4 (ก) – (ค) การปรับสภาพผิวผ้าพอลิเอสเตอร์ก่อนพิมพ์ด้วยสารละลายโคโทซานให้ขอบเขตสีของผ้าพอลิเอสเตอร์พิมพ์ก่อนและหลังอบไอน้ำไม่แตกต่างกัน ดังแสดงในภาพที่ 4.4 (ง) – (จ) นอกจากนี้ยังพบว่า สารละลายโคโทซานให้ขอบเขตสีใกล้เคียงกับผ้าพอลิเอสเตอร์ที่ไม่ผ่านการปรับสภาพผิวผ้า แต่ช่วงโทนสีแดงเหลืองโคโทซานให้ขอบเขตสีกว้างกว่าเล็กน้อย ดังแสดงในภาพที่ 4.5

ขอบเขตสีของผ้าที่ปรับสภาพผิวผ้าด้วยสารละลายโคโทซานความเข้มข้นต่าง ๆ เมื่อเปรียบเทียบกับผ้าที่ไม่ผ่านการปรับสภาพผิวผ้าพบว่า โคโทซานให้ขอบเขตสีที่ช่วงโทนสีแดงเหลืองกว้างกว่าเพียงเล็กน้อยดังภาพที่ 4.5 ก. จึงนำค่าสีที่ตำแหน่ง D6 (สีส้ม) มาหาค่าความแตกต่างสี (color different, ΔE) ดังแสดงในตารางที่ 4.2 เมื่อเปรียบเทียบความแตกต่างสีระหว่างผ้าที่ไม่ผ่านการปรับ

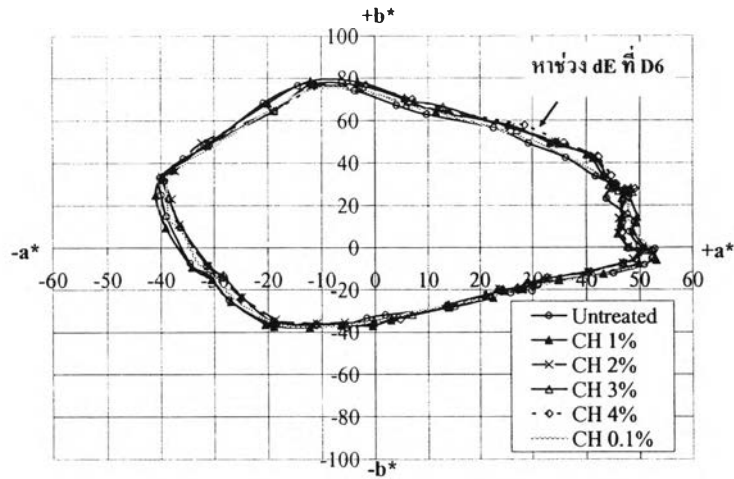
สภาพผิวผ้า และผ้าที่ปรับสภาพผิวผ้าด้วยสารละลายไคโทซานความเข้มข้นต่าง ๆ พบว่า มีค่าความแตกต่างสีมีค่ามากกว่า 2.5 ขึ้นไป ซึ่ง Habelkost [2007] กล่าวว่า ความแตกต่างสีที่มีค่าน้อยสุดที่นัยนตามนุษย์สามารถสังเกตเห็นความแตกต่างของสีได้มีค่าเท่ากับ 1 ดังนั้น ผ้าพอลิเอสเตอร์เมื่อนำมาปรับสภาพผิวผ้าด้วยสารละลายไคโทซานที่ความเข้มข้นร้อยละ 0.1-4 มีความแตกต่างสีที่ตามนุษย์สามารถสังเกตเห็นความแตกต่างได้ในตำแหน่งสีส้ม โดยค่า a^* ของผ้าที่ปรับสภาพผิวผ้าด้วยสารละลายไคโทซานมีค่าเป็นบวกมากขึ้น จึงแสดงความเป็นสีแดงเพิ่มขึ้น ค่า b^* ของผ้าที่ปรับสภาพผิวผ้าด้วยสารละลายไคโทซานมีค่าเป็นบวกมากขึ้น จึงแสดงความเป็นสีเหลืองเพิ่มมากขึ้น และผ้าที่ปรับสภาพผิวผ้าด้วยไคโทซานที่มีความเข้มข้นสูงขึ้นทำให้ค่าความสว่างลดลง โดยผ้าที่ไม่ปรับสภาพผิวผ้ามีค่าความสว่างสูงสุด

ตารางที่ 4.2 ค่าความแตกต่างสีที่ตำแหน่ง D6 ของผ้าที่ไม่ปรับสภาพผิวผ้าและผ้าที่ผ่านการปรับสภาพผิวผ้าด้วยสารละลายไคโทซานความเข้มข้นต่าง ๆ

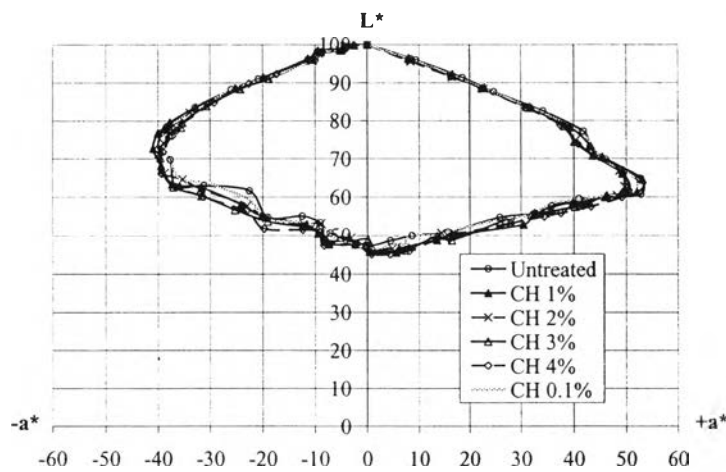
ผ้าพอลิเอสเตอร์		L*	a*	b*	ΔE
ไม่ปรับสภาพผิว	ปรับสภาพด้วยไคโทซานร้อยละ				
ผ้าที่ไม่ปรับสภาพผิวผ้า		76.84	29.32	49.23	0.00
	0.1	75.17	32.62	47.60	4.04
	1	74.98	33.33	49.42	4.43
	2	74.24	34.26	49.96	5.64
	3	73.79	35.01	49.02	6.46
	4	73.33	35.89	49.57	7.46



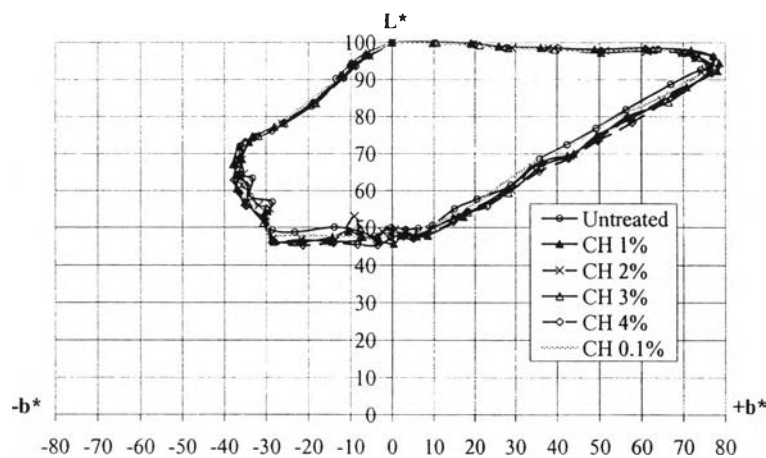
ภาพที่ 4.4 ขอบเขตสีที่แสดงในปริภูมิสี $L^*a^*b^*$ ของผ้าพอลิเอสเทอร์พิมพ์ที่ไม่ผ่านการปรับสภาพผิวผ้า (ก) – (ค) ผ้าพอลิเอสเทอร์พิมพ์ที่ปรับสภาพผิวผ้าด้วยสารละลายโคโทซานความเข้มข้นร้อยละ 1 (ง) – (ฉ) และปรับสภาพผิวผ้าด้วยสารละลายไกลซีน ความเข้มข้นร้อยละ 5 (ช) – (ฅ) ก่อนและหลังอบไอน้ำ



ก. ความสัมพันธ์ระหว่างค่าสัมประสิทธิ์ a^* กับค่าสัมประสิทธิ์ b^*



ข. ความสัมพันธ์ระหว่างค่าความสว่างกับค่าสัมประสิทธิ์ a^*

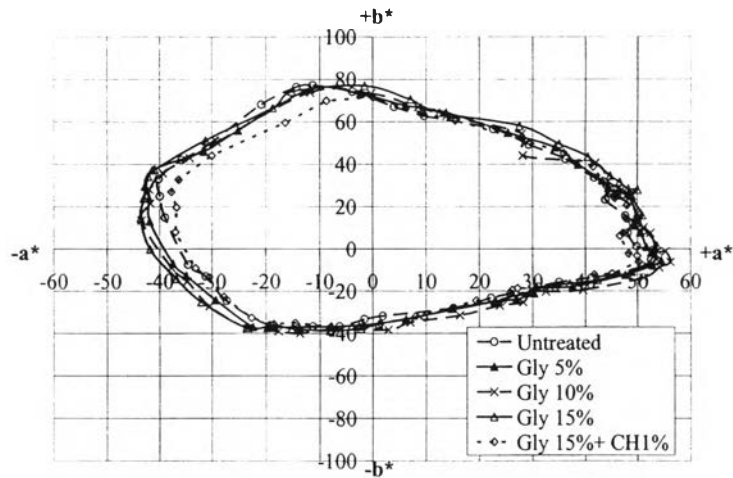


ค. ความสัมพันธ์ระหว่างค่าความสว่างกับค่าสัมประสิทธิ์ b^*

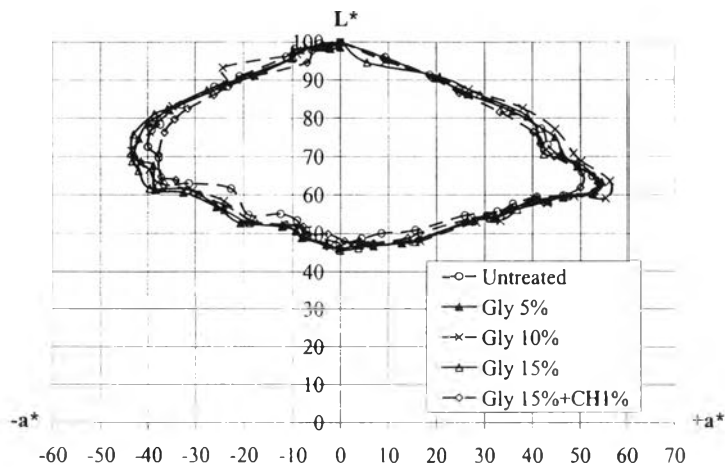
ภาพที่ 4.5 ขอบเขตสีที่แสดงในปริภูมิสี $L^*a^*b^*$ ของผ้าพอลิเอสเตอร์พิมพ์ที่ปรับสภาพผิวผ้าด้วยสารละลายไคโทซานความเข้มข้นต่าง ๆ และผ้าพอลิเอสเตอร์พิมพ์ที่ไม่ผ่านการปรับสภาพผิวผ้าหลังอบไอน้ำ

ผ้าพอลิเอสเตอร์พิมพ์ด้วยหมึกพิมพ์อิงค์เจ็ทที่ผ่านการปรับสภาพผิวผ้าด้วยสารละลาย ไกลซีนพบว่า ให้ขอบเขตสีของผ้าพอลิเอสเตอร์พิมพ์ก่อนและหลังอบไอน้ำไม่แตกต่างกัน(ภาพที่ 4.4 (ข)–(ง)) อย่างไรก็ตาม การปรับสภาพผิวผ้าพอลิเอสเตอร์ก่อนพิมพ์ด้วยสารละลายไกลซีนนั้น ทำให้ขอบเขตสีกว้างกว่าผ้าพอลิเอสเตอร์ที่ไม่ผ่านการปรับสภาพผิวผ้า งานพิมพ์มีสีสดใสและสีเข้มมากขึ้นอย่างเห็นได้ชัด ไกลซีนให้โทนสีที่ขึ้นใน โทนมัสเขียว เหลืองและสีส้มดังแสดงในภาพที่ 4.6

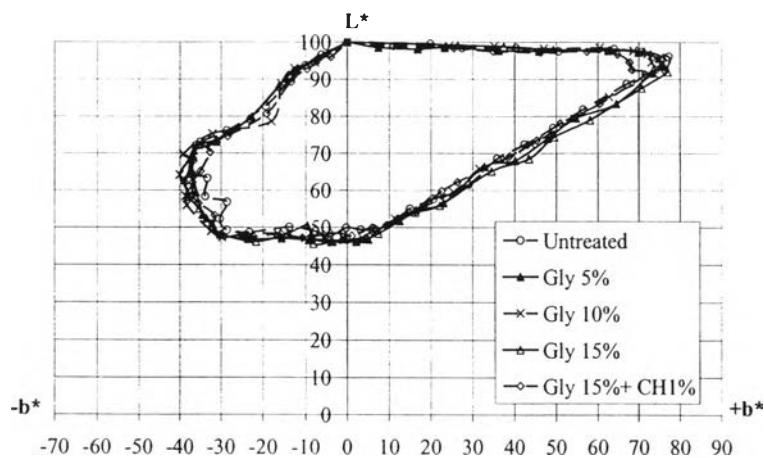
เมื่อเปรียบเทียบการปรับสภาพผิวผ้าพอลิเอสเตอร์ด้วยสารละลายผสมของโคโคซานกับ ไกลซีนพบว่า ขอบเขตสีที่ได้ใกล้เคียงกับสารละลายโคโคซาน แต่เมื่อเทียบกับสารละลายไกลซีนพบว่า ขอบเขตสีที่ได้แคบลงดังแสดงในภาพที่ 4.7



ก. ความสัมพันธ์ระหว่างค่าสัมประสิทธิ์สี a^* กับค่าสัมประสิทธิ์สี b^*

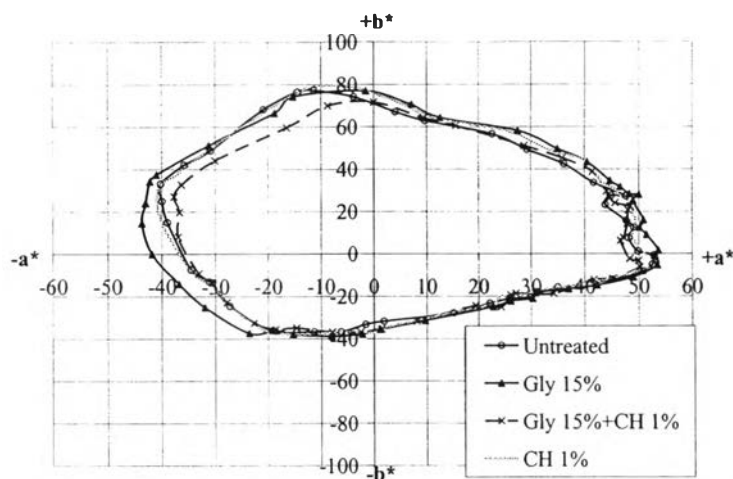


ข. ความสัมพันธ์ระหว่างค่าความสว่าง L^* กับค่าสัมประสิทธิ์สี a^*

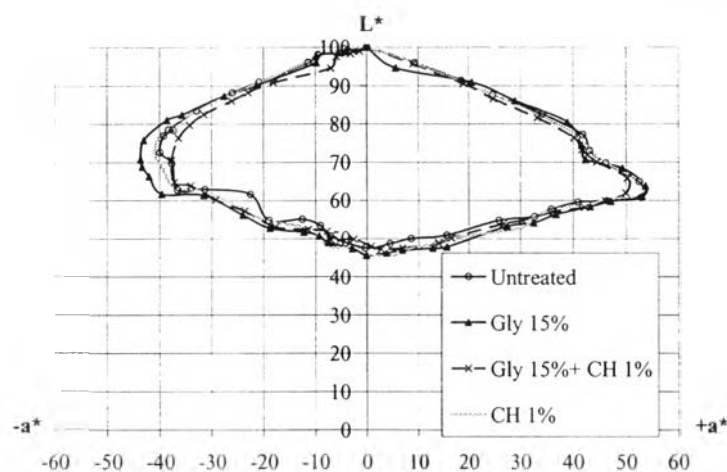


ค. ความสัมพันธ์ระหว่างค่าความสว่าง L^* กับค่าสัมประสิทธิ์สี b^*

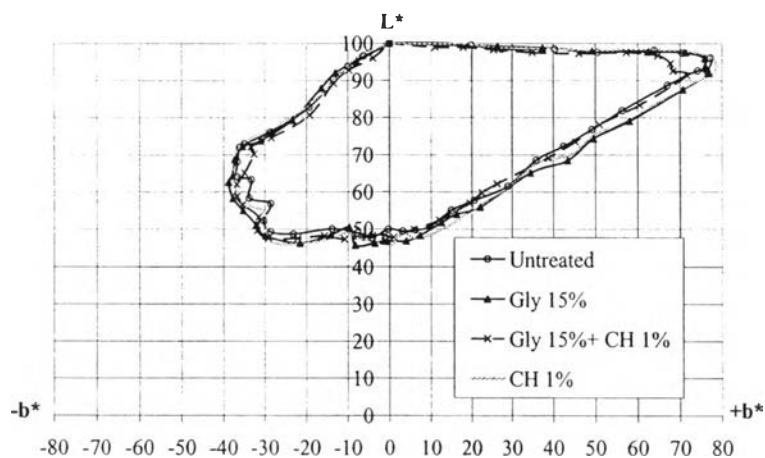
ภาพที่ 4.6 ขอบเขตสีที่แสดงในปริภูมิสี $L^*a^*b^*$ ของผ้าพอลิเอสเตอร์พิมพ์ที่ปรับสภาพผิวผ้าด้วยสารละลายไกลซีนความเข้มข้นต่าง ๆ และสารละลายไกลซีนผสมโคโทซาน และผ้าพอลิเอสเตอร์พิมพ์ที่ไม่ผ่านการปรับสภาพผิวผ้าหลังอบไอน้ำ



ก. ความสัมพันธ์ระหว่างค่าสัมประสิทธิ์สี a^* กับค่าสัมประสิทธิ์สี b^*



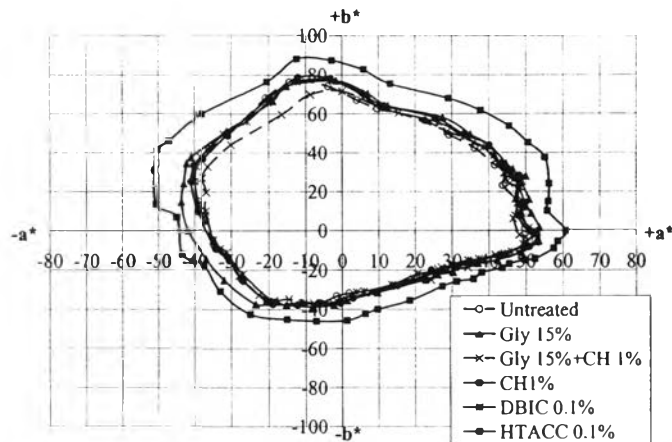
ข. ความสัมพันธ์ระหว่างค่าความสว่าง L^* กับค่าสัมประสิทธิ์สี a^*



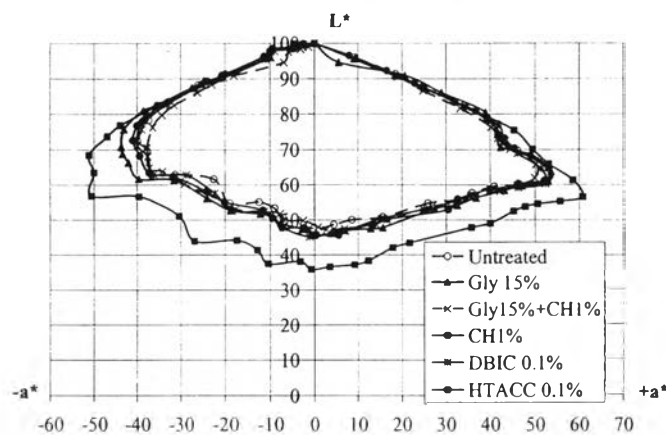
ค. ความสัมพันธ์ระหว่างค่าความสว่าง L^* กับค่าสัมประสิทธิ์สี b^*

ภาพที่ 4.7 ขอบเขตสีที่แสดงในปริภูมิสี $L^*a^*b^*$ ของผ้าพอลิเอสเตอร์พิมพ์ที่ปรับสภาพผิวผ้าด้วยสารละลายไกลซีนความเข้มข้นร้อยละ 15 และสารละลายผสมโคโทซานกับไกลซีน สารละลายโคโทซานความเข้มข้นร้อยละ 1 และผ้าพอลิเอสเตอร์พิมพ์ที่ไม่ผ่านการปรับสภาพผิวผ้าหลังอบไอน้ำ

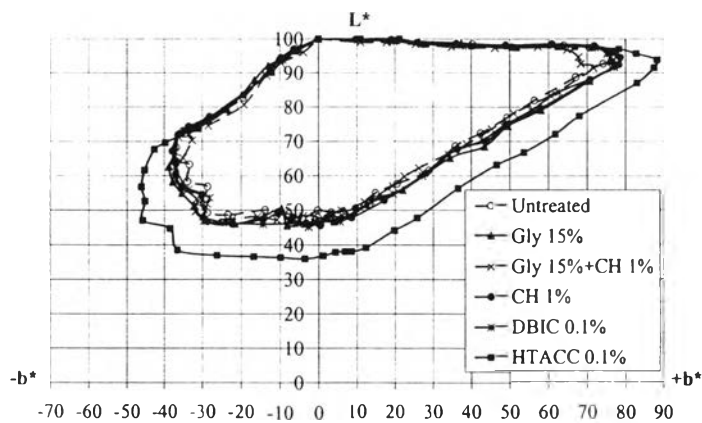
เมื่อเปรียบเทียบการปรับสภาพผิวผ้าพอลิเอสเตอร์ด้วยไคโทซานดัดแปร 2 ชนิด คือ สารละลายของไคโทซานดัดแปร DBIC (ที่มีการเติมหมู่แอมโรมาติกที่มีหมู่อะมิโนของและพันธะคู่เข้าสู่โมเลกุลของไคโทซาน) และ HTACC (ไคโทซานดัดแปรที่มีประจุบวกและสามารถละลายได้ในน้ำ) โดยใช้ความเข้มข้นร้อยละ 0.1 โดยน้ำหนัก กับสารละลายไคโทซานความเข้มข้นร้อยละ 1 และสารละลายไกลซีนความเข้มข้นร้อยละ 15 โดยน้ำหนัก พบว่า สารปรับสภาพผิวผ้าไคโทซานดัดแปร DBIC เมื่อใช้กับผ้าพอลิเอสเตอร์ให้ขอบเขตสีที่ใกล้เคียงกับผ้าที่ไม่ปรับสภาพผิวผ้า โดยมีบางบริเวณที่ขอบเขตสีกว้างกว่าผ้าไม่ปรับสภาพเพียงเล็กน้อย แต่ให้ขอบเขตสีที่แคบกว่า สารละลายไคโทซานและสารปรับสภาพอื่น ๆ ในขณะที่สารละลายของไคโทซานดัดแปร HTACC ให้ขอบเขตสีที่กว้างขึ้นอย่างมากเมื่อเทียบกับสารละลายอื่น ๆ ถึงแม้ว่าจะใช้ความเข้มข้นที่น้อยกว่ามาก เพียงร้อยละ 0.1 ก็ตาม ดังแสดงในภาพที่ 4.8 และจากภาพที่ 4.9 เมื่อเปรียบเทียบการปรับสภาพผิวผ้าด้วยสารละลายไคโทซานดัดแปร 2 ชนิด กับสารละลายไคโทซานที่ความเข้มข้นเท่ากันคือ ร้อยละ 0.1 พบว่า การปรับสภาพผิวผ้าด้วยสารละลายไคโทซาน และไคโทซานดัดแปร DBIC ให้ขอบเขตสีใกล้เคียงกับผ้าที่ไม่ผ่านการปรับสภาพผิว ส่วนไคโทซานดัดแปร HTACC ให้ขอบเขตสีกว้างสุด จากผลการทดลองนี้ สรุปได้ว่า สารละลายไคโทซานดัดแปร HTACC ความเข้มข้นร้อยละ 0.1 โดยน้ำหนัก เป็นสารที่สามารถใช้เพิ่มขอบเขตสีของผ้าพอลิเอสเตอร์พิมพ์ด้วยหมึกพิมพ์อิงค์เจ็ตได้ดีที่สุดในกลุ่มสารที่ใช้ทดสอบทั้งหมด



ก. ความสัมพันธ์ระหว่างค่าสัมประสิทธิ์สี a^* กับค่าสัมประสิทธิ์สี b^*

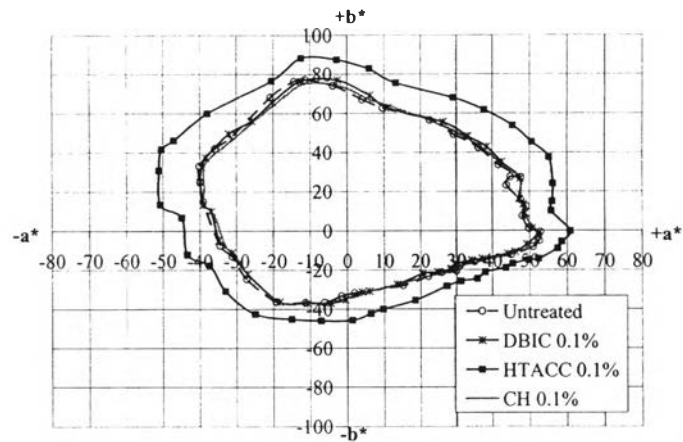


ข. ความสัมพันธ์ระหว่างค่าความสว่าง L^* กับค่าสัมประสิทธิ์สี a^*

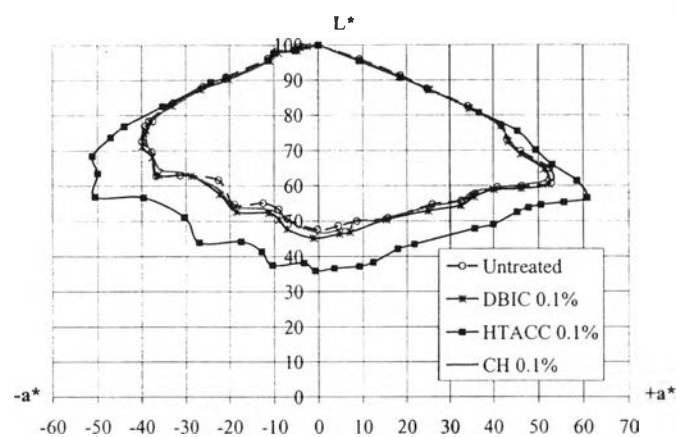


ค. ความสัมพันธ์ระหว่างค่าความสว่าง L^* กับค่าสัมประสิทธิ์สี b^*

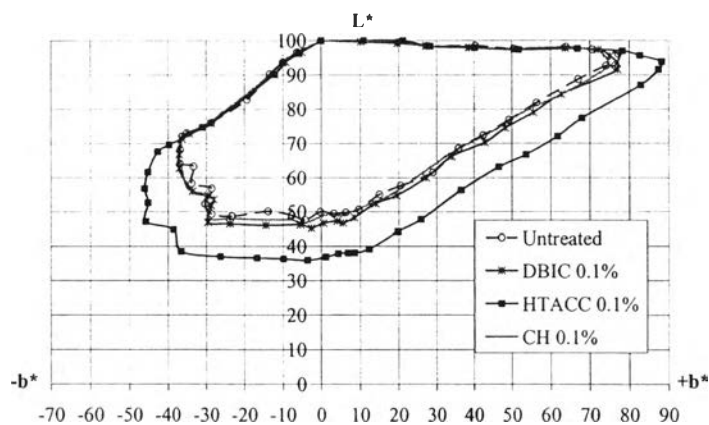
ภาพที่ 4.8 ขอบเขตสีที่แสดงในปริภูมิสี $L^*a^*b^*$ ของผ้าพอลิเอสเตอร์พิมพ์ที่ผ่านการปรับสภาพผิวผ้าด้วยสารละลายไกลซินความเข้มข้นร้อยละ 15 สารละลายผสมไกลซินโคโทซาน สารละลายโคโทซานความเข้มข้นร้อยละ 0.1 และ 1 สารละลาย DBIC ความเข้มข้นร้อยละ 0.1 สารละลาย HTACC ความเข้มข้นร้อยละ 0.1 และผ้าพอลิเอสเตอร์พิมพ์ที่ไม่ผ่านการปรับสภาพผิวผ้าหลังอบไอน้ำ



ก. ความสัมพันธ์ระหว่างค่าสัมประสิทธิ์สี a^* กับค่าสัมประสิทธิ์สี b^*



ข. ความสัมพันธ์ระหว่างค่าความสว่าง L^* กับค่าสัมประสิทธิ์สี a^*

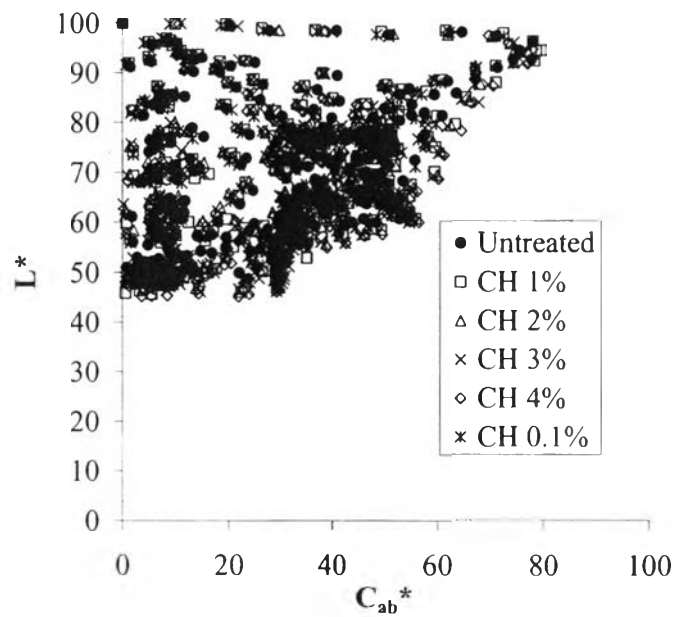


ค. ความสัมพันธ์ระหว่างค่าความสว่าง L^* กับค่าสัมประสิทธิ์สี b^*

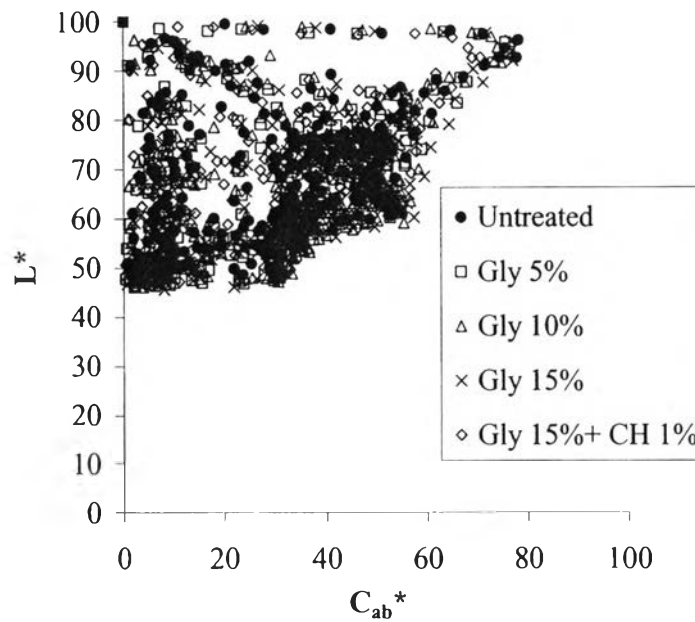
ภาพที่ 4.9 ขอบเขตสีที่แสดงในปริภูมิสี $L^*a^*b^*$ ของผ้าพอลิเอสเตอร์พิมพ์ที่ผ่านการปรับสภาพผิวผ้าด้วยสารละลายไคโทซานความเข้มข้นร้อยละ 0.1 สารละลายไคโทซานดัดแปรชนิด DBIC ความเข้มข้นร้อยละ 0.1 สารละลายไคโทซานดัดแปรชนิด HTACC ความเข้มข้นร้อยละ 0.1 และผ้าพอลิเอสเตอร์พิมพ์ที่ไม่ผ่านการปรับสภาพผิวผ้าหลังอบไอน้ำ

4.3 ความอิ่มตัวสี (color saturation)

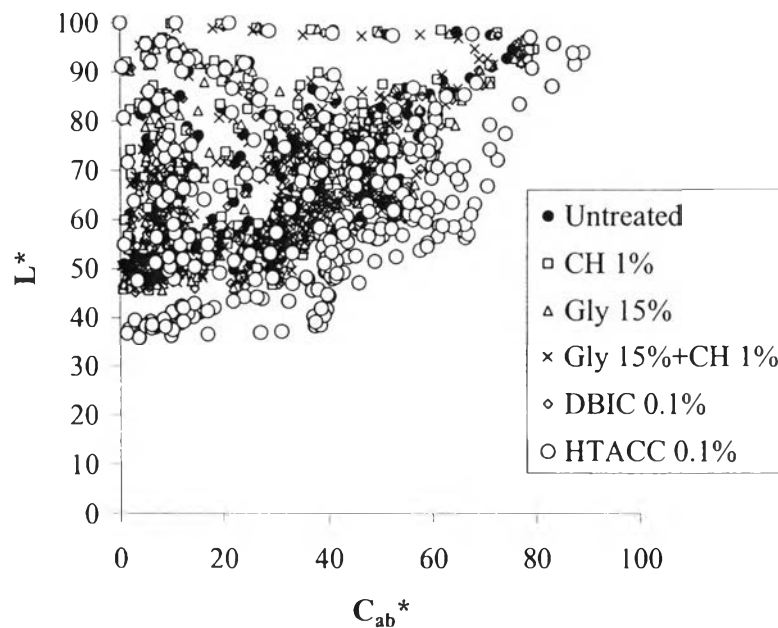
ความอิ่มตัวสีหาได้จากค่า C_{ab}^* (chroma) ในระบบสี $L^*C^*h^*$ โดยศึกษาเปรียบเทียบในแต่ละค่าความสว่าง L^* (lightness) เมื่อค่า a^* และหรือ b^* ของสีเพิ่มมากขึ้น ความอิ่มตัวสี (C_{ab}^*) มีค่าสูงขึ้น ซึ่งความอิ่มตัวสีของผ้าพอลิเอสเตอร์พิมพ์ที่ไม่ผ่านการปรับสภาพผิวผ้าและปรับสภาพผิวผ้าด้วยสารละลายชนิดต่าง ๆ สามารถเขียนกราฟความสัมพันธ์ของค่าความเป็นสีที่ความสว่างต่าง ๆ ดังแสดง ในภาพที่ 4.10-4.12



ภาพที่ 4.10 ค่าความสว่างและค่าความอิ่มตัวสีของผ้าพอลิเอสเตอร์พิมพ์ที่ไม่ผ่านการปรับสภาพผิวผ้า และผ้าพอลิเอสเตอร์ที่ผ่านการปรับสภาพผิวผ้าด้วยสารละลายโคโทซานความเข้มข้นต่าง ๆ



ภาพที่ 4.11 ค่าความสว่างและค่าความอึมทัวสีของผ้าพอลิเอสเตอร์พิมพ์ที่ไม่ผ่านการปรับสภาพผิว
ผ้า และผ้าพอลิเอสเตอร์ที่ผ่านการปรับสภาพผิวผ้าด้วยสารละลายไกลซีนที่ความเข้มข้นต่าง ๆ และ
สารละลายผสมไกลซีนกับไคโทซาน



ภาพที่ 4.12 ค่าความสว่างและค่าความอึมทัวสีของผ้าพอลิเอสเตอร์พิมพ์ที่ไม่ปรับสภาพผิวผ้า และ
ที่ปรับสภาพผิวผ้าด้วยสารละลายไคโทซาน ไกลซีน สารละลายผสมไกลซีนกับไคโทซาน และ
สารละลายไคโทซานตัดแปร DBIC และ HTACC

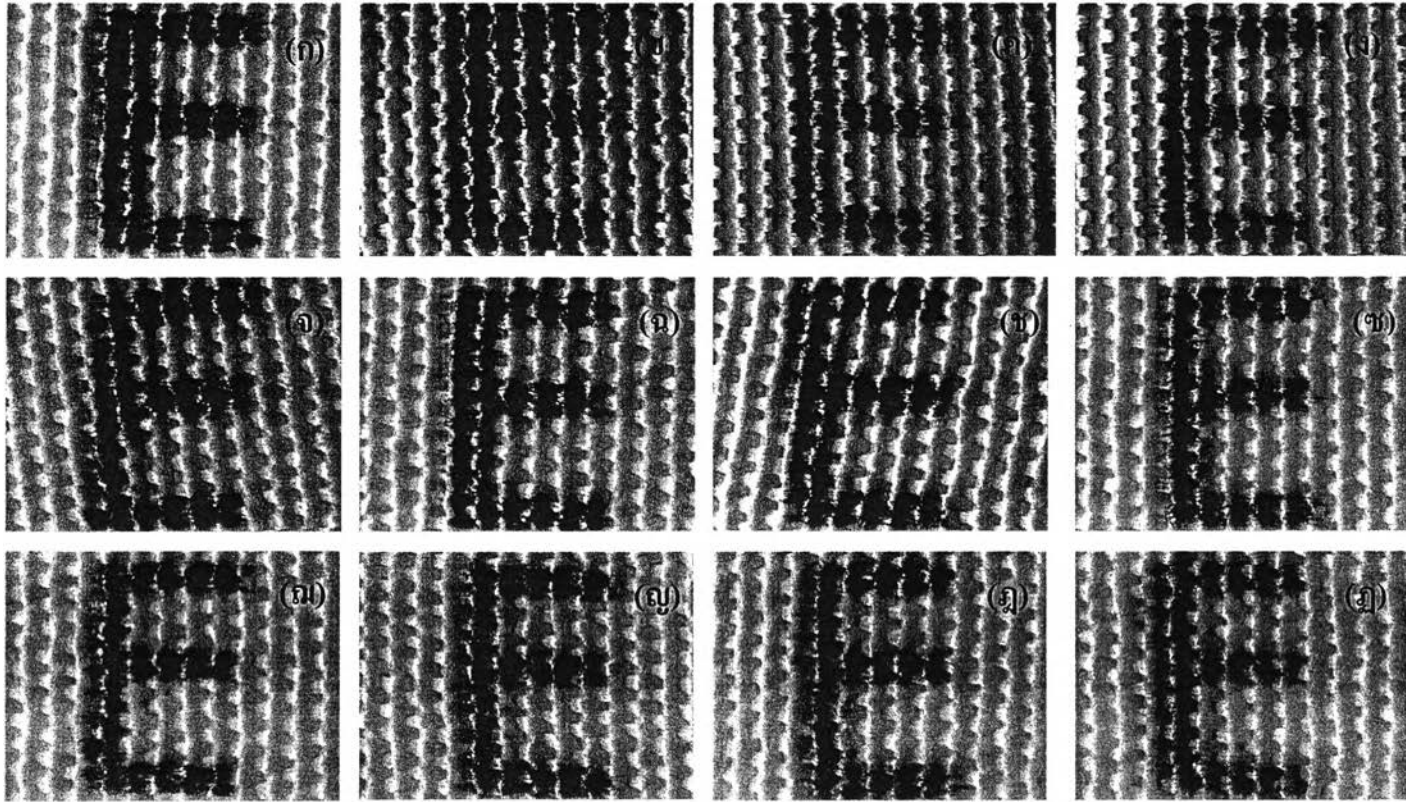
การปรับสภาพผิวผ้าพอลิเอสเตอร์ก่อนพิมพ์ช่วยเพิ่มความอึมตัวสีในทุก ๆ ค่าความสว่าง และช่วยให้ผลผลิตสีที่มีความสว่างต่ำ ๆ หรือสีเข้มได้เพิ่มขึ้นเมื่อเทียบกับผ้าพอลิเอสเตอร์ที่ไม่ปรับสภาพผิวผ้า เห็นได้จากการกระจายตัวของจุดข้อมูลบนภาพความสัมพันธ์ระหว่างค่าความสว่างและค่าความอึมตัวสี ในการผลิตสีที่ดี ภาพความสัมพันธ์ที่ได้จะมีจุดกระจายทั่วพื้นที่อย่างสม่ำเสมอและกว้าง หรือสามารถผลิตสีได้ในทุกค่าความสว่าง (กระจายตัวออกในแนวตั้ง) และสามารถผลิตสีได้ตั้งแต่ความอึมตัวต่ำจนถึงความอึมตัวสูง (กระจายตัวออกในแนวนอน)

การปรับสภาพผิวผ้าด้วยสารละลายไคโทซานพบว่า ความอึมตัวของสีเพิ่มขึ้นเพียงเล็กน้อย และเมื่อเพิ่มความเข้มข้นของไคโทซานในสารละลายพบว่า ความอึมตัวของสีที่ได้ใกล้เคียงกันดังแสดงในภาพที่ 4.10 จากภาพที่ 4.11 พบว่า เมื่อปรับสภาพผิวผ้าด้วยสารละลายไกลซิน ความอึมตัวของสีเพิ่มขึ้นมากกว่าเมื่อใช้สารละลายไคโทซาน และเมื่อเพิ่มความเข้มข้นของไกลซินเป็นร้อยละ 15 ความอึมตัวสีเพิ่มขึ้นอย่างชัดเจน นอกจากนี้พบว่า การใช้สารละลายผสมไคโทซานกับไกลซิน ให้ความอึมตัวสีไม่แตกต่างจากการใช้ไคโทซานเพียงอย่างเดียว

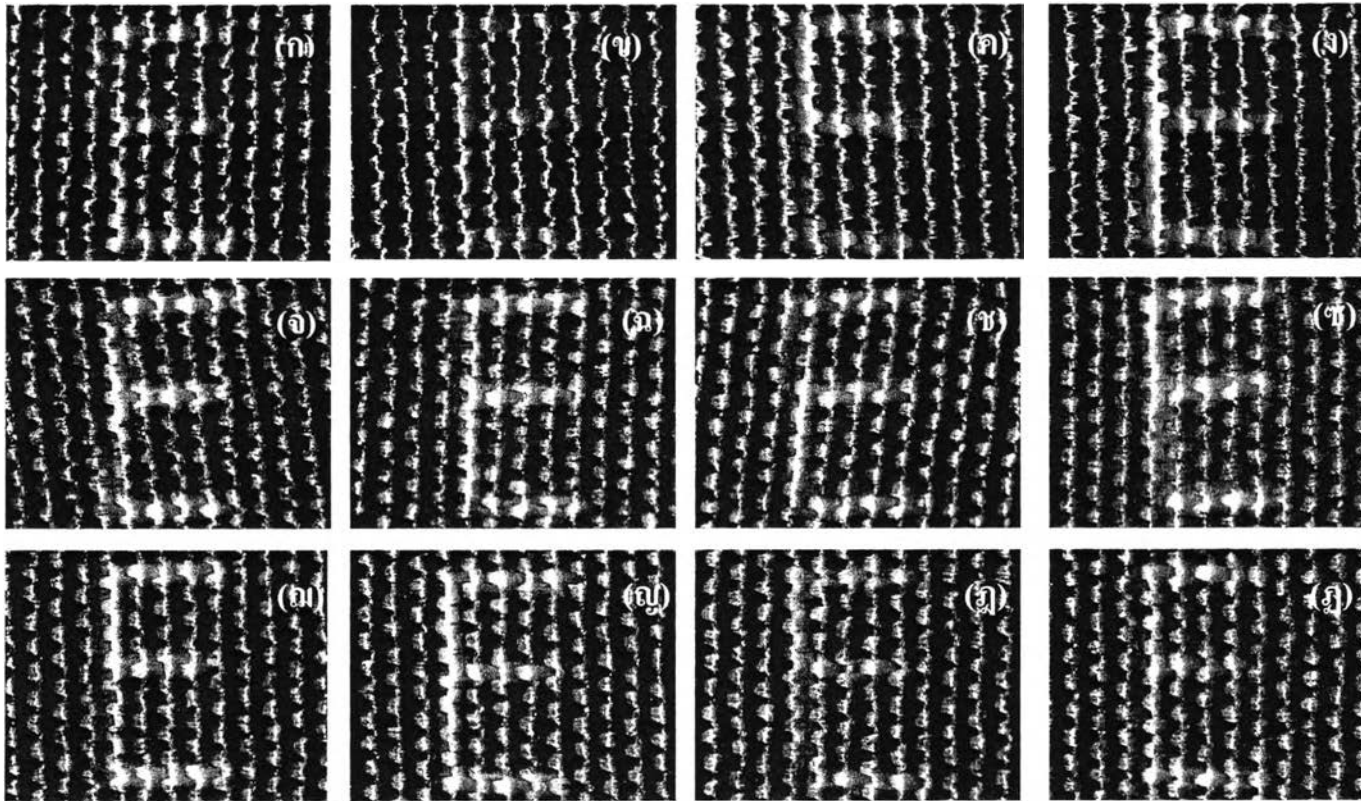
การปรับสภาพผิวผ้าด้วยไคโทซานดัดแปร DBIC และ HTACC พบว่า HTACC นอกจากให้ขอบเขตสีที่กว้างที่สุด ยังให้ความอึมตัวสีเพิ่มขึ้นมากที่สุดและเพิ่มขึ้นมากกว่าใช้ไกลซินร้อยละ 15 ดังแสดงในภาพที่ 4.12 ขณะที่ DBIC ให้ผลใกล้เคียงกับไคโทซาน

4.4 ความคมชัดของงานพิมพ์ (sharpness)

ความคมชัดของงานพิมพ์ผ้าพอลิเอสเตอร์พิจารณาจากลักษณะของตัวอักษรชนิดพอซิทีฟ (อักษรสีดำบนพื้นขาว) และเนกาทีฟ (อักษรสีขาวบนพื้นดำ) ขนาด 10 พอยต์ ดังแสดงในภาพที่ 4.13-4.14



ภาพที่ 4.13 ลักษณะของตัวอักษรชนิดพอซิทิฟบนผ้าพอลิเอสเตอร์ (ก) ไม่ผ่านการปรับสภาพผิวผ้า (ข) ปรับสภาพผิวผ้าด้วยไคโทซานร้อยละ 0.1 (ค) ปรับสภาพผิวผ้าด้วย DBIC ร้อยละ 0.1 (ง) ปรับสภาพผิวผ้าด้วย HTACC ร้อยละ 0.1 (จ) ปรับสภาพผิวผ้าด้วยไคโทซานร้อยละ 1 (ฉ) ปรับสภาพผิวผ้าด้วยไคโทซานร้อยละ 2 (ช) ปรับสภาพผิวผ้าด้วยไคโทซานร้อยละ 3 (ฌ) ปรับสภาพผิวผ้าด้วยไคโทซานร้อยละ 4 (ฉ) ปรับสภาพผิวผ้าด้วยไคโทซานร้อยละ 5 (ญ) ปรับสภาพผิวผ้าด้วยไคโทซานร้อยละ 10 (ฎ) ปรับสภาพผิวผ้าด้วยไคโทซานร้อยละ 15 (ฏ) ปรับสภาพผิวผ้าด้วยไคโทซานผสมไคโทซาน



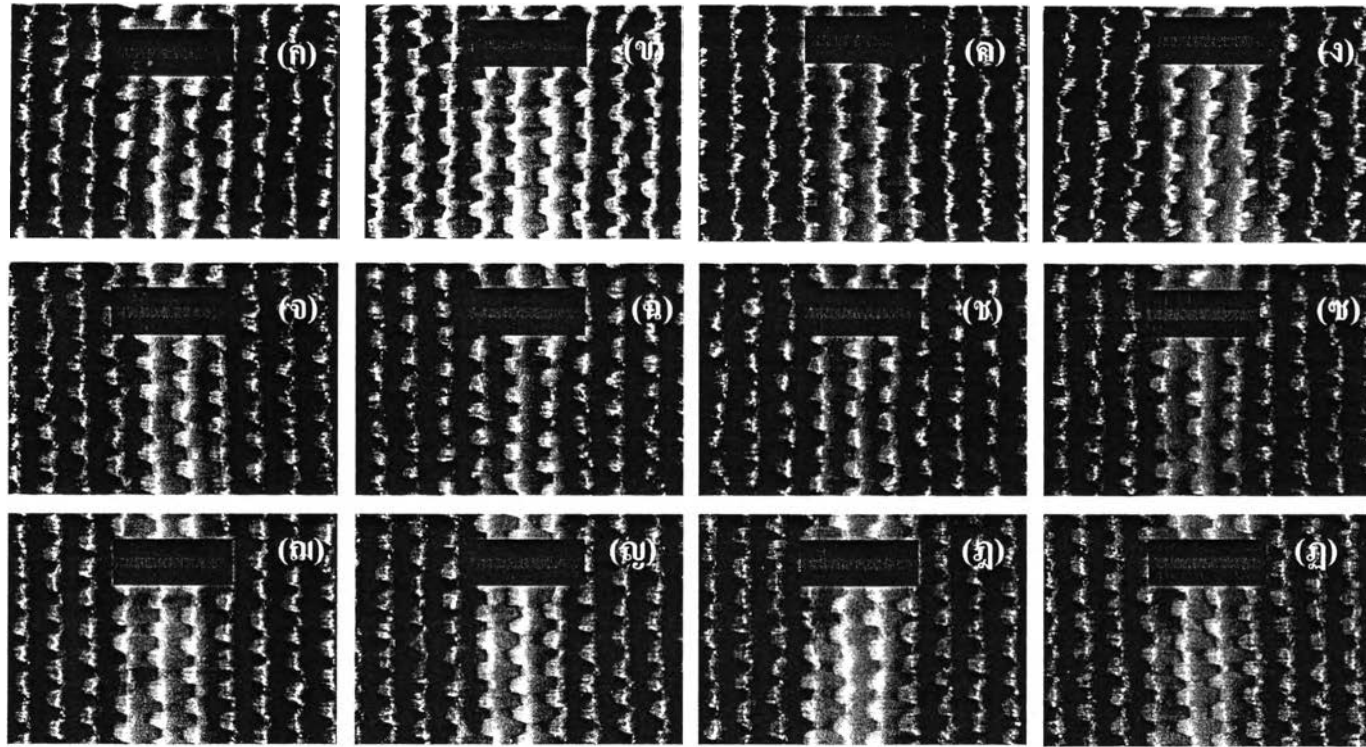
ภาพที่ 4.14 ลักษณะของตัวอักษรชนิดเนกาทีฟบนผ้าพอลิเอสเตอร์ (ก) ไม่ผ่านการปรับสภาพผิวผ้า (ข) ปรับสภาพผิวผ้าด้วยไคโทซานร้อยละ 0.1 (ค) ปรับสภาพผิวผ้าด้วย DBIC ร้อยละ 0.1 (ง) ปรับสภาพผิวผ้าด้วย HTACC ร้อยละ 0.1 (จ) ปรับสภาพผิวผ้าด้วยไคโทซานร้อยละ 1 (ฉ) ปรับสภาพผิวผ้าด้วยไคโทซานร้อยละ 2 (ช) ปรับสภาพผิวผ้าด้วยไคโทซานร้อยละ 3 (ฅ) ปรับสภาพผิวผ้าด้วยไคโทซานร้อยละ 4 (ฎ) ปรับสภาพผิวผ้าด้วยไคโทซานร้อยละ 5 (ฏ) ปรับสภาพผิวผ้าด้วยไคโทซานร้อยละ 10 (ฐ) ปรับสภาพผิวผ้าด้วยไคโทซานร้อยละ 15 (ฑ) ปรับสภาพผิวผ้าด้วยไคโทซานผสมไคโทซาน

ผลการทดลองความคมชัดของตัวอักษรชนิดพอซิทิว แสดงดังภาพที่ 4.13 เมื่อตรวจดูด้วยตาเปล่าพบว่า ผ้าที่ไม่ผ่านการปรับสภาพผิวผ้ามีขนาดตัวอักษรใหญ่กว่าเมื่อเทียบกับตัวอักษรของผ้าที่ปรับสภาพผิวผ้าด้วยสารละลายต่าง ๆ เนื่องจากผ้าที่ไม่ผ่านการปรับสภาพผิวเกิดจากการซึมออกของหมึกพิมพ์ได้ง่ายกว่า เมื่อเปรียบเทียบการปรับสภาพผิวผ้าด้วยสารละลายไคโทซาน และสารละลายไคโทซานดัดแปร DBIC และ HTACC ที่ความเข้มข้นเท่ากันที่ร้อยละ 0.1 พบว่าสารละลายไคโทซานให้ความคมชัดน้อยกว่าไคโทซานดัดแปร DBIC ส่วน HTACC ให้ตัวอักษรคมชัดมากที่สุด อย่างไรก็ตาม ไคโทซานดัดแปร DBIC ให้ความคมชัดมากกว่าผ้าไม่ปรับสภาพผิวผ้า ในขณะที่ผ้าที่ปรับสภาพผิวผ้าด้วยไคโทซานมีตัวอักษรขนาดใหญ่ใกล้เคียงกับผ้าไม่ปรับสภาพผิวผ้า เมื่อเพิ่มความเข้มข้นของสารละลายไคโทซานเป็นร้อยละ 1, 2, 3 และ 4 พบว่า คมชัดของตัวอักษรเพิ่มขึ้นกว่าใช้ไคโทซานที่ความเข้มข้นร้อยละ 0.1 แต่ขนาดตัวอักษรใกล้เคียงกันเมื่อใช้ไคโทซานร้อยละ 1-4 และใกล้เคียงกับผ้าที่ไม่ปรับสภาพผิวผ้า แต่เมื่อปรับสภาพผิวผ้าด้วยสารละลายไกลซินพบว่า ตัวอักษรมีความคมชัดกว่าผ้าไม่ปรับสภาพผิวผ้า ซึ่งให้ผลเช่นเดียวกับผ้าที่ปรับสภาพผิวผ้าด้วยสารละลายผสมไกลซินกับไคโทซาน

ผลการทดลองความคมชัดของตัวอักษรชนิดเนกาทีฟ ดังภาพที่ 4.14 พบว่า ผ้าไม่ปรับสภาพผิวผ้าและผ้าที่ปรับสภาพผิวผ้าด้วยสารละลายไคโทซานความเข้มข้นร้อยละ 0.1 อ่านออกได้ยาก ตัวอักษรไม่ชัดเจน เนื่องจากหมึกพิมพ์บริเวณพื้นดำซึมเข้าสู่บริเวณตัวอักษรสีขาว เมื่อปรับสภาพผิวผ้าด้วยสารละลายไคโทซานและไคโทซานดัดแปร DBIC และ HTACC ความเข้มข้นร้อยละ 0.1 พบว่า ตัวอักษรมีขนาดใหญ่ มองเห็นชัดเจนขึ้น สามารถอ่านออกได้ โดยเฉพาะสารละลายไคโทซานดัดแปร HTACC ให้ตัวอักษรที่คมชัดกว่าสารปรับสภาพผิวผ้าชนิดอื่น และเมื่อปรับสภาพผิวผ้าด้วยสารละลายไคโทซานความเข้มข้นร้อยละ 1, 2, 3 และ 4 หรือ สารละลายไกลซินความเข้มข้นร้อยละ 5, 10 และ 15 หรือ สารละลายผสมไกลซินกับไคโทซาน พบว่า ตัวอักษรมีขนาดใหญ่ขึ้นกว่าผ้าไม่ปรับสภาพผิว โดยไกลซินความเข้มข้นร้อยละ 10 ให้ความคมชัดมากกว่าไกลซินผสมไคโทซาน และไกลซินความเข้มข้นอื่น ๆ

4.5 การซึมเข้าหากันของสีหมึกพิมพ์ (inter-color bleeding)

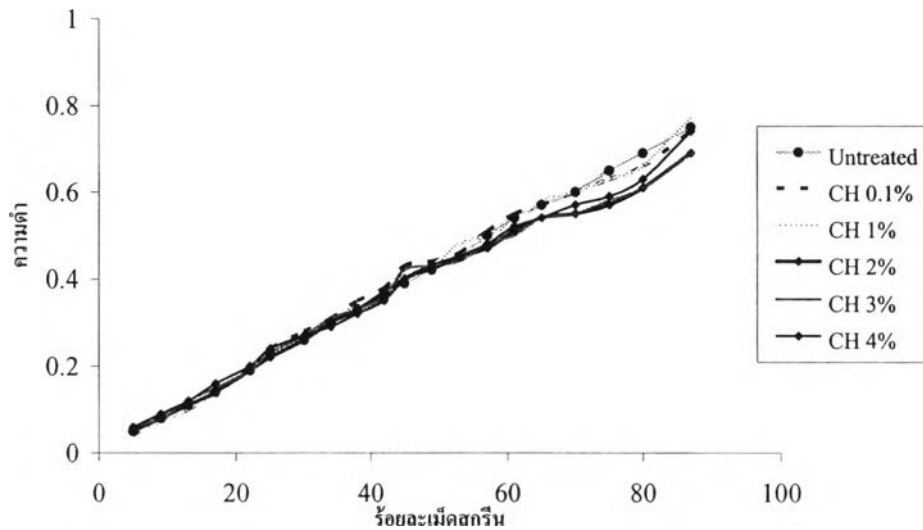
การซึมเข้าหากันของหมึกพิมพ์บนผ้าพอลิเอสเตอร์ซึ่งที่ไม่ผ่านการปรับสภาพผิวผ้าและปรับสภาพผิวผ้าด้วยสารชนิดต่าง ๆ ดูได้จากการขยายหรือการหดเข้าของเส้นสีเหลืองขนาด 1 มิลลิเมตร บนพื้นทึบสีดำ ภาพการซึมเข้าหากันของหมึกพิมพ์ได้แสดงในภาพที่ 4.15 พบว่า HTACC ทำให้การซึมเข้าหากันของหมึกพิมพ์เกิดน้อยที่สุด ไคโทซานให้ผลดีเป็นอันดับสอง ไคโทซานความเข้มข้นร้อยละ 0.1 เกิดการซึมเข้าหากันของหมึกพิมพ์มากกว่าไคโทซานที่ความเข้มข้นอื่น ๆ ไกลซินผสมกับไคโทซานให้ผลดีที่ใกล้เคียงกับไกลซิน ในขณะที่ DBIC มีการซึมเข้าหากันมากที่สุดในกลุ่มสารที่ใช้ทดลอง



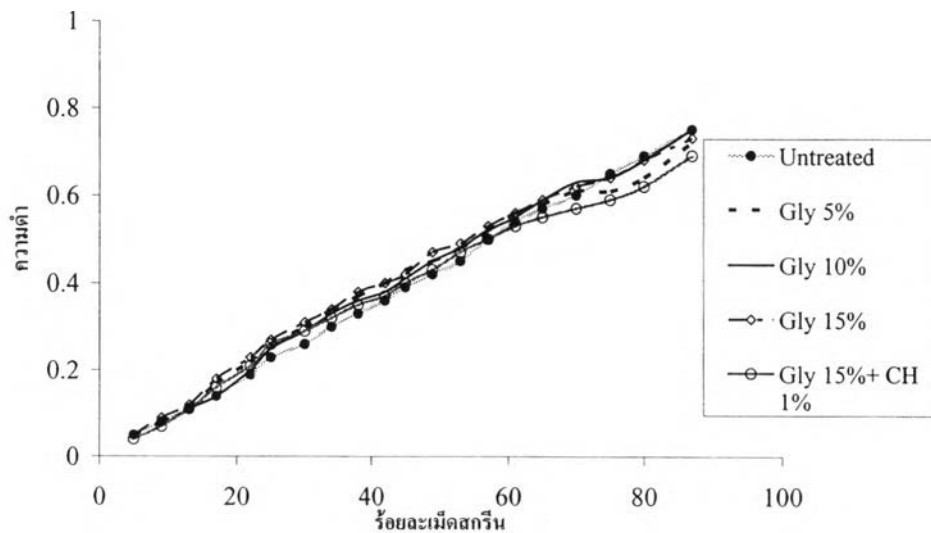
ภาพที่ 4.15 การซึมเข้าหากันของหมึกพิมพ์บนผ้าพอลิเอสเตอร์ (ก) ไม่ผ่านการปรับสภาพผิวผ้า (ข) ปรับสภาพผิวผ้าด้วยไคโทซานร้อยละ 0.1 (ค) ปรับสภาพผิวผ้าด้วย DBIC ร้อยละ 0.1 (ง) ปรับสภาพผิวผ้าด้วย HTACC ร้อยละ 0.1 (จ) ปรับสภาพผิวผ้าด้วยไคโทซานร้อยละ 1 (ฉ) ปรับสภาพผิวผ้าด้วยไคโทซานร้อยละ 2 (ช) ปรับสภาพผิวผ้าด้วยไคโทซานร้อยละ 3 (ซ) ปรับสภาพผิวผ้าด้วยไคโทซานร้อยละ 4 (ฌ) ปรับสภาพผิวผ้าด้วยไกลซีนร้อยละ 5 (ญ) ปรับสภาพผิวผ้าด้วยไกลซีนร้อยละ 10 (ฎ) ปรับสภาพผิวผ้าด้วยไกลซีนร้อยละ 15 (ฏ) ปรับสภาพผิวผ้าด้วยไกลซีนผสมไคโทซาน

4.6 การผลิตน้ำหนักสีต่อเนื่อง (tone reproduction)

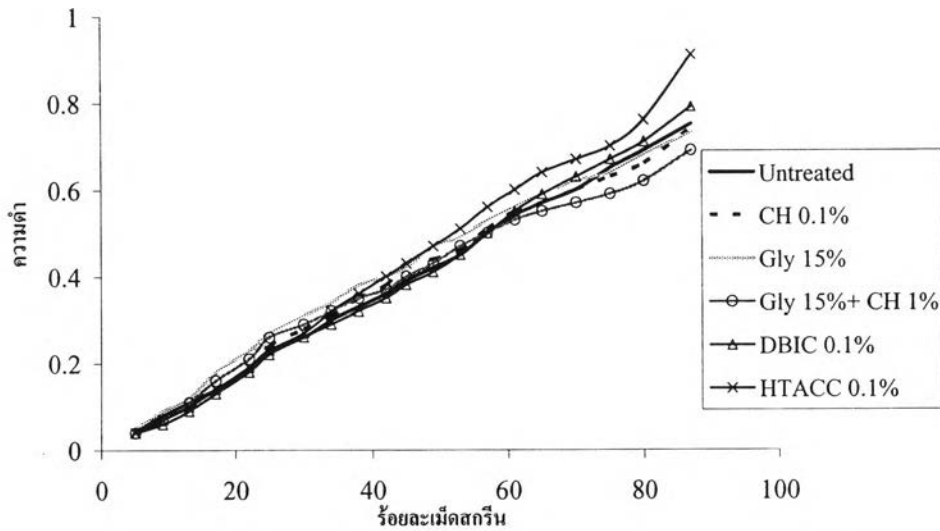
การผลิตน้ำหนักสีต่อเนื่องพิจารณาจากกราฟแสดงความสัมพันธ์ระหว่างค่าความดำ (density) กับ ปริมาณร้อยละเม็ดสกรีน (% screen) พบว่า ค่าร้อยละเม็ดสกรีนเพิ่มขึ้นค่าความดำจะเพิ่มขึ้น ซึ่งผล การผลิตน้ำหนักสีต่อเนื่องระหว่างผ้าพอลิเอสเตอร์ที่ไม่ผ่านการปรับสภาพผิวผ้ากับกลุ่มผ้าที่ผ่านการ ปรับสภาพผิวผ้าด้วยสารละลายไคโทซานและไกลซีนแสดงดังภาพที่ 4.16-4.18



ภาพที่ 4.16 ความสัมพันธ์ระหว่างค่าความดำกับค่าร้อยละเม็ดสกรีนของผ้าพอลิเอสเตอร์ที่ไม่ปรับ สภาพผิวผ้ากับกลุ่มผ้าที่ปรับสภาพด้วยสารละลายไคโทซานความเข้มข้นต่าง ๆ



ภาพที่ 4.17 ความสัมพันธ์ระหว่างค่าความดำกับค่าร้อยละเม็ดสกรีนของผ้าพอลิเอสเตอร์ที่ไม่ปรับ สภาพผิวผ้ากับกลุ่มผ้าที่ปรับสภาพด้วยสารละลายไกลซีนความเข้มข้นต่าง ๆ



ภาพที่ 4.18 ความสัมพันธ์ระหว่างค่าความต่ำกับค่าร้อยละเมล็ดสกรีนของผ้าพอลิเอสเตอร์ของผ้าพอลิเอสเตอร์ที่ไม่ปรับสภาพผิวผ้าและที่ปรับสภาพด้วยสารละลายไคโทซานความเข้มข้นร้อยละ 0.1 สารละลายไกลซีนความเข้มข้นร้อยละ 15 สารละลายผสมไคโทซานกับไกลซีน สารละลายไคโทซานดัดแปร DBIC ความเข้มข้นร้อยละ 0.1 และ HTACC ความเข้มข้นร้อยละ 0.1

จากภาพที่ 4.16 การปรับสภาพผิวผ้าด้วยสารละลายไคโทซานพบว่า มีการผลิตน้ำหนกสีต่อเนื่องดีเช่นเดียวกับผ้าที่ไม่ปรับสภาพผิวผ้า แต่เมื่อความเข้มข้นของไคโทซานเพิ่มขึ้นเป็นร้อยละ 2 ถึง 4 โดยน้ำหนก ค่าความต่ำของน้ำหนกสีที่ผลิตได้ต่ำกว่าผ้าที่ไม่ปรับสภาพผิวผ้าที่ร้อยละเมล็ดสกรีน 60 ขึ้นไป ส่วนความเข้มข้นของไคโทซานร้อยละ 0.1 และ 1 มีค่าความต่ำใกล้เคียงกับผ้าไม่ปรับสภาพผิวผ้า การผลิตน้ำหนกสีเมื่อใช้สารละลายไกลซีนปรับสภาพผ้า พบว่า ค่าความต่ำที่ร้อยละเมล็ดสกรีนตั้งแต่ 20-60 มีค่าความต่ำสูงกว่าผ้าที่ไม่ปรับสภาพผ้างภาพที่ 4.17 ส่วนสารละลายผสมไคโทซานกับไกลซีนพบว่า ในช่วงร้อยละเมล็ดสกรีน 20-60 ให้ค่าความต่ำสูงกว่าผ้าที่ไม่ปรับสภาพผิวผ้า แต่ที่ร้อยละเมล็ดสกรีน 60 ขึ้นไปให้ค่าความต่ำต่ำกว่าผ้าที่ไม่ปรับสภาพผิวผ้า ดังแสดงในภาพที่ 4.18 เมื่อเปรียบเทียบผ้าที่ไม่ปรับสภาพผิวผ้า และผ้าที่ปรับสภาพผิวผ้าด้วยสารละลายไคโทซานดัดแปร HTACC พบว่า สามารถผลิตน้ำหนกสีได้ทุกช่วงสีให้ค่าความต่ำสูงกว่าผ้าที่ไม่ปรับสภาพผิวผ้าในทุกช่วงร้อยละเมล็ดสกรีนและให้ผลดีที่สุด โดยให้ความต่ำสูงสุดกว่าสารปรับสภาพผิวผ้าทุกชนิดที่ใช้ในการทดลองนี้ DBIC ให้ผลดีเป็นอันดับสามรองจากไกลซีนและ HTACC

4.7 ความเข้มสี (color strength, K/S)

ความเข้มสีของผ้าพอลิเอสเตอร์ที่ไม่ปรับสภาพและที่ปรับสภาพผิวผ้าด้วยสารปรับผิวต่าง ๆ ที่พิมพ์ด้วยหมึกพิมพ์อิงก์เจ็ทฐานน้ำชนิดสารสี แสดงในตารางที่ 4.3

ตารางที่ 4.3 ผลของสารปรับสภาพผิวผ้าชนิดต่าง ๆ ต่อความเข้มสี (K/S) สีฟ้าเขียว สีม่วงแดง สีเหลือง และสีดำ ของผ้าพอลิเอสเตอร์พิมพ์ด้วยหมึกพิมพ์อิงก์เจ็ทฐานน้ำชนิดสารสีที่ความยาวคลื่นที่มีค่าการดูดกลืนแสงสูงสุด

สภาพของผิวผ้า	ความเข้มสี (K/S) ของสี			
	สีฟ้าเขียว	สีม่วงแดง	สีเหลือง*	สีดำ*
	λ_{\max} 620 nm	λ_{\max} 540 nm	λ_{\max} 400 nm	λ_{\max} 400 nm
ผ้าไม่ปรับสภาพผิวผ้า	2.53±0.03	4.79±0.09	5.38±1.73	3.61±0.02
ผ้าปรับด้วยไคโทซานร้อยละ 1	1.77±0.01	3.25±0.61	2.78±0.78	4.40±0.33
ผ้าปรับด้วยไคโทซานร้อยละ 2	1.54±0.01	2.53±0.05	2.97±0.11	2.95±0.03
ผ้าปรับด้วยไคโทซานร้อยละ 3	1.82±0.42	3.00±0.30	3.47±0.13	2.32±0.23
ผ้าปรับด้วยไคโทซานร้อยละ 4	1.54±0.04	2.51±0.06	5.04±0.23	2.26±0.20
ผ้าปรับด้วยไกลซินร้อยละ 5	3.46±0.15	5.15±0.11	6.56±0.30	3.79±0.02
ผ้าปรับด้วยไกลซินร้อยละ 10	2.96±0.11	4.74±0.08	7.66±0.93	6.54±2.78
ผ้าปรับด้วยไกลซินร้อยละ 15	2.84±0.09	4.29±0.13	7.14±1.24	7.10±0.66
ผ้าปรับด้วยไกลซินร้อยละ 15 + ไคโทซานร้อยละ 1	1.68±0.02	2.99±0.16	5.19±0.88	3.01±0.56
ผ้าปรับด้วยไคโทซานร้อยละ 0.1	2.61±0.07	3.54±0.25	5.11±0.3	4.25±0.68
ผ้าปรับด้วยไคโทซานตัดแปร DBIC ร้อยละ 0.1	2.18±0.15	4.19±0.42	5.44±1.75	3.82±1.13
ผ้าปรับด้วยไคโทซานตัดแปร HTACC ร้อยละ 0.1	8.41±0.47	13.09±1.50	29.55±0.58	29.73±0.94

*สีเหลืองและสีดำมีค่า λ_{\max} ของแต่ละชนิดของสารปรับสภาพผิวผ้าไม่คงที่ ส่วนใหญ่มีค่า λ_{\max} ที่ 400 นาโนเมตร

จากค่าความเข้มสีตามตารางที่ 4.3 เมื่อนำค่าความเข้มสีฟ้าเขียว สีม่วงแดง สีเหลือง และสีดำ ไปวิเคราะห์ค่าทางสถิติ โดยวิเคราะห์ความแปรปรวนแบบจำแนกทางเดียวเพื่อหาความแตกต่างระหว่างค่าความเข้มสีฟ้าเขียว สีม่วงแดง สีเหลือง และสีดำของผ้าที่ไม่ผ่านการปรับสภาพผิวผ้ากับผ้าที่ผ่านการปรับสภาพผิวผ้าด้วยสารละลายชนิดต่าง ๆ พบว่า มีความแตกต่างและไม่แตกต่างอย่าง

มีนัยสำคัญดังแสดงในตารางที่ 4.4 ผ้าที่ปรับสภาพผิวผ้าที่มีความแตกต่างอย่างมีนัยสำคัญพิจารณาจากค่า F จำนวนที่มีค่ามากกว่า F critical แสดงผลวิเคราะห์ค่าทางสถิติตามตารางในภาคผนวกตารางที่ ภ1-ภ44

ตารางที่ 4.4 สรุปผลค่าทางสถิติวิเคราะห์ความแปรปรวนแบบจำแนกทางเดียวแบบทางเดียวเปรียบเทียบแต่ละสีกับชุดไม่ผ่านการปรับสภาพผิวผ้า

ชุดสารปรับสภาพผิวผ้า	สีฟ้าเขียว	สีม่วงแดง	สีเหลือง	สีดำ
สารละลายไคโทซานร้อยละ 0.1	ไม่แตกต่าง	แตกต่าง	ไม่แตกต่าง	ไม่แตกต่าง
สารละลายไคโทซานร้อยละ 1	แตกต่าง	ไม่แตกต่าง	ไม่แตกต่าง	ไม่แตกต่าง
สารละลายไคโทซานร้อยละ 2	แตกต่าง	แตกต่าง	ไม่แตกต่าง	แตกต่าง
สารละลายไคโทซานร้อยละ 3	ไม่แตกต่าง	แตกต่าง	ไม่แตกต่าง	แตกต่าง
สารละลายไคโทซานร้อยละ 4	แตกต่าง	แตกต่าง	ไม่แตกต่าง	แตกต่าง
สารละลายไกลซีนร้อยละ 5	แตกต่าง	ไม่แตกต่าง	ไม่แตกต่าง	แตกต่าง
สารละลายไกลซีนร้อยละ 10	แตกต่าง	ไม่แตกต่าง	ไม่แตกต่าง	ไม่แตกต่าง
สารละลายไกลซีนร้อยละ 15	แตกต่าง	แตกต่าง	ไม่แตกต่าง	แตกต่าง
สารละลายผสมไกลซีนร้อยละ 15 ไคโทซานร้อยละ 1	แตกต่าง	แตกต่าง	ไม่แตกต่าง	ไม่แตกต่าง
สารละลาย DBIC ร้อยละ 0.1	ไม่แตกต่าง	ไม่แตกต่าง	ไม่แตกต่าง	ไม่แตกต่าง
สารละลาย HTACC ร้อยละ 0.1	แตกต่าง	แตกต่าง	แตกต่าง	แตกต่าง

วิเคราะห์ผลความเข้มสีของทุกความเข้มข้นของสารปรับผิวที่ความเข้มข้นตามที่ใช้ในตารางนี้ โดยเทียบกับผ้าที่ไม่มีการปรับผิว รายละเอียดของการประเมินระดับความมีนัยสำคัญที่ค่า $\alpha = 0.05$ ของหมักพิมพ์สีฟ้าเขียว สีม่วงแดง สีเหลือง และสีดำ ดังแสดงไว้ในตารางภาคผนวกที่ ภ1-ภ44 ตามลำดับ

จากตารางที่ 4.3 และ 4.4 สรุปผลได้ว่า เมื่อนำผ้าพอลิเอสเตอร์มาปรับสภาพผิวผ้าด้วย สารละลายไคโทซาน ไกลซิน และ ไคโทซานดัดแปร DBIC ค่าความเข้มสีเหลืองไม่มีความแตกต่างอย่างมีนัยสำคัญเมื่อเทียบกับผ้าที่ไม่ผ่านการปรับสภาพผิวผ้า ยกเว้นไคโทซานดัดแปร HTACC ที่พบว่า มีความแตกต่างอย่างมีนัยสำคัญเมื่อเทียบกับผ้าที่ไม่ผ่านการปรับสภาพผิวผ้าที่ หมักพิมพ์สีเดียวกัน และความเข้มสีเมื่อใช้ HTACC มีค่าเพิ่มมากที่สุดเมื่อเปรียบเทียบกับสารปรับ สภาพผิวผ้าชนิดอื่น ๆ โดยเพิ่มความเข้มสีของหมักพิมพ์สีฟ้าเขียวและสีม่วงแดงได้ถึง 3 เท่า สี เหลือง 5 เท่า และสีดำ 8 เท่า ส่วนไคโทซานดัดแปรชนิด DBIC พบว่า มีค่าความเข้มสีทุกสี ใกล้เคียงกับผ้าที่ไม่ผ่านการปรับสภาพผิวผ้าพอลิเอสเตอร์และไม่มีความแตกต่างอย่างมีนัยสำคัญ กับผ้าที่ไม่ผ่านการปรับสภาพผิวผ้า นั่นหมายถึง DBIC ให้คุณภาพผ้าพิมพ์พอลิเอสเตอร์ในด้าน ความเข้มสีเหมือนกับผ้าที่ไม่ปรับสภาพ

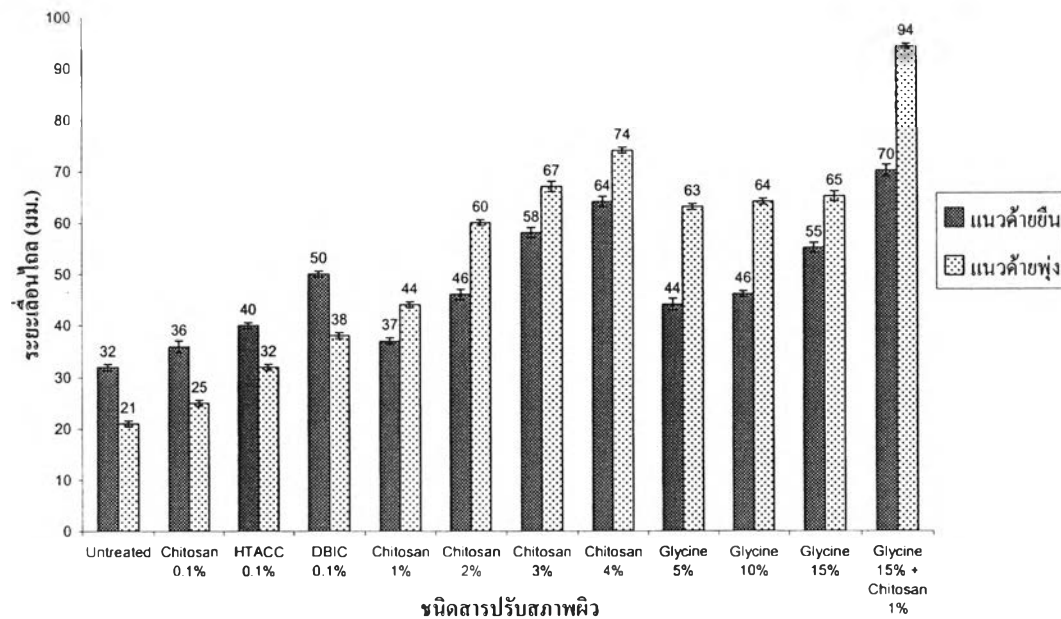
เมื่อปรับสภาพผิวผ้าด้วยสารละลายไคโทซานที่ความเข้มข้นร้อยละ 0.1 วิเคราะห์ค่าทาง สถิติ พบว่า เฉพาะสีม่วงแดงเท่านั้นที่ความเข้มสีมีความแตกต่างอย่างมีนัยสำคัญเมื่อเทียบกับผ้าที่ ไม่ปรับสภาพผิวผ้าโดยมีค่าความเข้มสีลดลง แต่เมื่อเพิ่มความเข้มข้นสารละลายไคโทซานพบว่า ความเข้มสีของหมักสีเหลืองเท่านั้นที่ไม่มีความแตกต่างอย่างมีนัยสำคัญเมื่อเทียบกับผ้าที่ไม่ผ่าน การปรับสภาพผิวผ้า แสดงว่า ไคโทซานไม่มีผลในการเพิ่มความเข้มสีเหลือง นอกจากนี้ เมื่อเพิ่ม ความเข้มข้นสารละลายไคโทซานยังมีผลลดความเข้มสีฟ้าเขียวของผ้าที่ผ่านการปรับสภาพผิวผ้า อีกด้วย

สารละลายไกลซินเมื่อนำมาปรับสภาพผิวผ้าพบว่า ที่ความเข้มข้นร้อยละ 15 ค่าความเข้มสี ทุกสีเพิ่มขึ้นอย่างมีนัยสำคัญยกเว้นสีเหลืองเมื่อเทียบกับผ้าที่ไม่ผ่านการปรับสภาพผิวผ้า และพบว่า สารละลายไกลซินที่ความเข้มข้นร้อยละ 5, 10 และ 15 ให้ความเข้มสีฟ้าเขียวเพิ่มขึ้นอย่างมี นัยสำคัญ แสดงว่า ไกลซินมีผลในการเพิ่มความเข้มสีฟ้าเขียวไม่ว่าจะใช้ความเข้มข้นต่ำหรือสูงก็ ตาม และเมื่อใช้ไกลซินที่ความเข้มข้นสูงสามารถเพิ่มความเข้มสีม่วงแดงและสีดำได้

สารละลายไคโทซาน และไกลซินที่นำมาปรับสภาพผิวผ้าพอลิเอสเตอร์ในแต่ละค่าความ เข้มข้นมีผลต่อความเข้มสีแต่ละสีแตกต่างกัน เนื่องจากโครงสร้างของสารสีแต่ละสีมีโครงสร้างทาง เคมีที่แตกต่างกัน ดังนั้น อันตรกิริยาระหว่างสารสีแต่ละสีกับสารปรับสภาพผิวผ้าจึงแตกต่างกัน นอกจากนี้ ไคโทซานดัดแปร HTACC ที่มีประจุบวกถาวรสามารถเกิดปฏิกิริยากับสารสีที่มีประจุ ลบได้แรงยึดเหนี่ยวระหว่างพันธะเป็นแบบอเล็กโตรสแตติก จึงทำให้ผ้าดูดซึมสารสีได้มากขึ้น ความเข้มสีของหมักพิมพ์ทุกสีบนผ้าพิมพ์จึงเพิ่มขึ้น ซึ่งสรุปได้ว่า สารปรับสภาพผิวที่มีประจุบวก ถาวรสามารถเพิ่มความเข้มสีได้ดีกว่าไคโทซาน ไกลซิน และไคโทซานดัดแปร DBIC ที่ไม่มีประจุ บวกถาวร

4.8 ความแข็งแรงต่าง

ผลการทดสอบความแข็งแรงต่าง (มาตรฐาน JIS L 1096:1999) ของผ้าพอลิเอสเทอร์พิมพ์ด้วยหมึกพิมพ์อิงค์เจ็ทฐานน้ำชนิดสารสี แสดงในภาพที่ 4.19



ภาพที่ 4.19 ผลของสารปรับสภาพผิวผ้าชนิดต่าง ๆ และความเข้มข้นที่ใช้ต่อระยะเลือน ไถลของผ้าทดสอบในแนวเส้นยืนและเส้นพุ่ง

จากภาพที่ 4.19 พบว่า การปรับสภาพผิวผ้าพอลิเอสเทอร์ด้วยสารปรับสภาพผิวผ้า มีค่าระยะการเลือน ไถลทั้ง 2 แนวเพิ่มขึ้นเมื่อเปรียบเทียบกับผ้าที่ไม่มีการปรับสภาพผิวผ้า แสดงว่า การปรับสภาพผิวผ้าพอลิเอสเทอร์มีผลต่อการเพิ่มความแข็งแรงต่าง เมื่อใช้สารละลายไคโทซานความเข้มข้นตั้งแต่ร้อยละ 1 ถึง 4 ระยะการเลือน ไถลในแนวเส้นยืนของผ้าทดสอบมีระยะทางน้อยกว่าในแนวเส้นพุ่งแสดงว่า ไคโทซานช่วยเพิ่มความแข็งแรงต่างให้กับแนวเส้นพุ่งมากกว่าแนวเส้นยืน อาจเนื่องมาจากเส้นใยพอลิเอสเทอร์ในแนวเส้นพุ่งซึ่งปกติไม่ค่อยแข็งแรง สามารถรับสารไคโทซานเพิ่มขึ้น ได้มากกว่าเส้นใยในแนวเส้นยืนที่แข็งแรงกว่า แต่เมื่อนำสารละลายไคโทซานความเข้มข้นร้อยละ 0.1 มาปรับสภาพผิวผ้า พบว่า ระยะการเลือน ไถลในแนวเส้นยืนของผ้ามีระยะทางมากกว่าในแนวพุ่ง ทั้งนี้ เป็นผลจากความแข็งแรงของเส้นแนวยืนที่มีค่ามากกว่าเส้นแนวพุ่ง และความเข้มข้นของสารปรับสภาพผิวดำ ซึ่งผลนี้ยังพบในผ้าทดสอบที่ปรับสภาพผิวด้วยไคโทซานดัดแปร DBIC และ HTACC ความเข้มข้นร้อยละ 0.1

การเพิ่มความเข้มข้นของสารละลายไคโกลซิน ระยะการเลือน ไถลของผ้าไม่แตกต่างกันในแนวเส้นพุ่ง ส่วนแนวเส้นยืนความแข็งแรงต่างเพิ่มขึ้นเล็กน้อย เมื่อใช้สารละลายผสมไคโกลซิน

ความเข้มข้นร้อยละ 15 กับโคโทซานความเข้มข้นร้อยละ 1 โดยน้ำหนัก พบว่า ผ้าทดสอบมีระยะเวลาการเลื่อนไถลทั้ง 2 แนวมากที่สุดซึ่งแสดงว่า ผ้ามีความแข็งกระด้างเพิ่มขึ้นมากที่สุด เนื่องจากผลของสารปรับสภาพผิวผ้าโคโทซานผสมกับไกลซิน รวมทั้งผลของความเข้มข้นรวมของสารที่ใช้ปรับพื้นผิวผ้ามีมากที่สุด

จากภาพที่ 4.19 สารละลายโคโทซานคัดแปร DBIC และ HTACC ความเข้มข้นร้อยละ 0.1 เมื่อนำปรับสภาพผิวผ้า เปรียบเทียบสารละลายโคโทซานความเข้มข้นร้อยละ 0.1 พบว่า ระยะเวลาการเลื่อนไถลของสารละลายโคโทซานมีค่าต่ำสุด ส่วนสารละลายโคโทซานคัดแปร DBIC มีค่าสูงสุด แสดงว่าสารละลายโคโทซาน ความเข้มข้นร้อยละ 0.1 โดยน้ำหนัก เป็นสารปรับสภาพผิวผ้าที่ทำให้ผ้ามีความแข็งกระด้างต่ำที่สุด และสารละลาย HTACC มีระยะเวลาการเลื่อนไถลปานกลาง แสดงว่า มีความแข็งกระด้างปานกลางและสูงกว่าสารละลายโคโทซานเพียงเล็กน้อย

4.9 ความคงทนของสีต่อการซัก

ผลการทดสอบความคงทนของสีต่อการซักตามมาตรฐาน ISO 105-C10:2006 (E) ของผ้าพอลิเอสเตอร์พิมพ์ด้วยหมึกพิมพ์อิงค์เจ็ทฐานน้ำชนิดสารสี แสดงในตารางที่ 4.5

ตารางที่ 4.5 ผลของสารปรับสภาพผิวผ้าชนิดต่าง ๆ ต่อความคงทนของสีต่อการซักของผ้าพอลิเอสเตอร์พิมพ์ด้วยหมึกพิมพ์อิงค์เจ็ตรูปร่างน้ำชนิดสารสี

สภาพของผิวผ้า	ระดับสี เปลี่ยน *	การติดสีบนผ้า**					
		เอเชีย เทศ	ฝ้าย	ไนลอน	พอลิ- เอสเตอร์	อะคริลิก	ขน สัตว์
ผ้าไม่ผ่านการปรับสภาพผิวผ้า	1	4-5	4-5	4-5	4-5	4-5	4-5
ผ้าปรับด้วยไคโทซานร้อยละ 1	2	4-5	4-5	4-5	4-5	4-5	4-5
ผ้าปรับด้วยไคโทซานร้อยละ 2	1-2	4-5	4-5	4-5	4-5	4-5	4-5
ผ้าปรับด้วยไคโทซานร้อยละ 3	2	4-5	4-5	4-5	4-5	4-5	4-5
ผ้าปรับด้วยไคโทซานร้อยละ 4	2	4-5	4	4-5	4-5	4-5	4-5
ผ้าปรับด้วยไกลซีนร้อยละ 5	1	4-5	4-5	4-5	4-5	4-5	4-5
ผ้าปรับด้วยไกลซีนร้อยละ 10	1-2	4-5	4-5	4-5	4-5	4-5	4-5
ผ้าปรับด้วยไกลซีนร้อยละ 15	2	4-5	4-5	4-5	4-5	4-5	4-5
ผ้าปรับด้วยไกลซีนร้อยละ 15 + ไคโทซานร้อยละ 1	3-4	4-5	4-5	4-5	4-5	4-5	4-5
ผ้าปรับด้วยไคโทซานตัดแปร DBIC ร้อยละ 0.1	1-2	4-5	4-5	4-5	4-5	4-5	4-5
ผ้าปรับด้วยไคโทซานตัดแปร HTACC ร้อยละ 0.1	3-4	4-5	4-5	4-5	4-5	4-5	4-5

* สีเปลี่ยนจากเดิม: 5 = ไม่มีการเปลี่ยนแปลง; 4 = เปลี่ยนแปลงเล็กน้อย; 3 = เปลี่ยนแปลงพอสังเกตได้; 2 = เปลี่ยนแปลงค่อนข้างมาก; 1 = สีเปลี่ยนแปลงมาก

** สีตกติด: 5 = ไม่มีการตกติดของสี; 4 = สีตกติดเล็กน้อย; 3 = สีตกติดพอสังเกตได้; 2 = สีตกติดค่อนข้างมาก; 1 = สีตกติดมาก

จากตารางที่ 4.5 พบว่า ผ้าที่ไม่ปรับสภาพผิวผ้าเมื่อผ่านการทดสอบความคงทนของสีต่อการซัก เกิดการตกของสีมากที่สุด คือระดับ 1 สารปรับสภาพผิวผ้าไคโทซาน, DBIC และไกลซีน ให้ผลใกล้เคียงกัน มีการเปลี่ยนระดับสีหลังซักน้อยกว่าผ้าที่ไม่มีสารปรับสภาพผิวผ้าเล็กน้อย ในขณะที่สารละลายผสมของไคโทซานกับไกลซีนให้ผลดีกว่าการใช้สารละลายเดี่ยว คือระดับ 3-4 ซึ่งหมายถึง สีเปลี่ยนแปลงเล็กน้อยถึงพอสังเกตได้ และให้ผลเหมือนกับการใช้สารละลายไคโทซานตัดแปร HTACC ดังนั้น สารปรับสภาพผิวผ้า HTACC และสารละลายผสมของไคโทซานกับไกลซีนสามารถเพิ่มสมบัติความคงทนของสีต่อการซัก ทำให้คุณภาพผ้าพิมพ์ดีขึ้นอย่างมาก

ผลการวัดสีของผ้าหลังการทดสอบความคงทนของสีต่อการซักโดยยึดติดกับผ้าทั้ง 6 ชนิด ดังแสดงในตารางที่ 4.5 อยู่ในระดับดีมากคือ 4-5 ทั้งผ้าพอลิเอสเตอร์ที่ไม่ปรับสภาพผิวผ้า และผ้าพอลิเอสเตอร์ที่ปรับสภาพผิวผ้าแสดงว่าไม่มีการตกของสีหรือเกิดการติดสีเพียงเล็กน้อยจากผ้าพอลิเอสเตอร์ที่พิมพ์ด้วยหมึกพิมพ์อิงก์เจ็ทชนิดสารสี

4.10 ความคงทนของสีต่อการขูดถู

ผลการทดสอบความคงทนของสีต่อการขูดถูขณะเปียกและขณะแห้งตามมาตรฐาน AATCC TM 8 ของผ้าพอลิเอสเตอร์พิมพ์ด้วยหมึกพิมพ์อิงก์เจ็ทฐานน้ำชนิดสารสี แสดงในตารางที่ 4.6

จากผลในตารางที่ 4.6 พบว่า ผ้าที่ไม่มีการปรับสภาพผิวผ้าเมื่อเทียบความคงทนของสีต่อการขูดถูบริเวณที่มีหมึกพิมพ์ทุกสีให้ผลเหมือนกันในภาวะเดียวกัน ยกเว้นหมึกพิมพ์สีม่วงแดงมีความคงทนของสีต่อการขูดถูน้อยที่สุด ส่วนผ้าที่ปรับสภาพผิวผ้าด้วยสารละลายไคโทซานทุกความเข้มข้นพบว่า หมึกพิมพ์สีเหลืองมีความคงทนของสีต่อการขูดถูต่ำสุด การเพิ่มความเข้มข้นของไคโทซานช่วยเพิ่มความคงทนของสีต่อการขูดถูของสีฟ้าเขียวอ่อนในภาวะเปียก และเพิ่มความทนต่อการขูดถูของสีม่วงแดงในภาวะแห้งได้ โดยให้ความทนที่สูงกว่าผ้าที่ไม่ปรับสภาพผิวผ้า ในขณะที่สารละลายไคโกลซีนเมื่อเพิ่มความเข้มข้นเป็นร้อยละ 15 จะเพิ่มความทนต่อการขูดถูของสีต่าง ๆ ในภาวะเปียกได้ดี

สารละลายผสมของไคโทซานกับไคโกลซีนให้ผลดีกว่าการใช้สารละลายเดี่ยว มีการเพิ่มความคงทนของสีต่อการขูดถูของสีดำทั้งในภาวะแห้งและเปียก เพิ่มความคงทนของสีต่อการขูดถูของสีฟ้าเขียวและสีเหลืองในภาวะเปียก และเพิ่มความคงทนของสีต่อการขูดถูของสีม่วงแดงในภาวะแห้งได้ด้วย โดยผลอยู่ในระดับที่ยอมรับได้คือ ระดับ 3-4 ให้ผลความทนต่อการขูดถูดีกว่าสารปรับสภาพผิวผ้าทุกชนิดที่ใช้ในการทดลองนี้ ซึ่งผลนี้สอดคล้องกับผลของแนวโน้มความแข็งแรงกระด้างของผ้าที่เพิ่มขึ้นในสารละลายแต่ละชนิดที่มีความเข้มข้นมากขึ้น ความแข็งแรงกระด้างน่าจะเป็นสาเหตุหนึ่งที่มีส่วนช่วยให้เส้นใยทนต่อการขูดถูมากขึ้น สีที่พิมพ์บนผ้าจึงทนการขูดถูมากขึ้นไปด้วย ดังนั้น ผ้าที่ใช้สารละลายผสมของไคโทซานกับไคโกลซีนที่มีความแข็งแรงกระด้างมากที่สุด จึงมีความทนต่อการขูดถูมากที่สุด ในทางตรงกันข้าม ไคโทซานดัดแปร DBIC ให้ผลความคงทนของสีต่อการขูดถูที่บริเวณหมึกพิมพ์สีเหลืองและสีดำน้อยที่สุดในกลุ่มสารปรับสภาพผิวผ้าที่ใช้ในการทดลองนี้ และยังมีน้อยกว่าผ้าที่ไม่มีการปรับสภาพผิวผ้าอีกด้วย ซึ่งสาเหตุหนึ่งอาจเนื่องมาจากความแข็งแรงกระด้างที่น้อยของผ้าที่ได้ และผลนี้ก็ยังปรากฏในไคโทซานดัดแปร HTACC ที่มีความแข็งแรงกระด้างน้อยเช่นกัน โดยพบว่า ให้ความทนต่อการขูดถูน้อยเป็นอันดับ 2 รองจากไคโทซานดัดแปร DBIC

ตารางที่ 4.6 ผลของสารปรับสภาพผิวผ้าชนิดต่าง ๆ ต่อความคงทนของสีต่อการขัดถูของผ้าพอลิเอสเตอร์พิมพ์ด้วยหมึกพิมพ์อิงก์เจ็ทฐานน้ำชนิดสารสี

สภาพของพื้นผิวผ้า	ภาวะการขัดถู	ความคงทนของสีต่อการขัดถู*			
		สีฟ้าเขียว	สีม่วงแดง	สีเหลือง	สีดำ
ไม่มีสารปรับสภาพ	ภาวะแห้ง	3.5	3	3.5	3.5
	ภาวะเปียก	2.5	2.5	2.5	2.5
ปรับด้วยไคโทซานร้อยละ 1	ภาวะแห้ง	3	3	3	3
	ภาวะเปียก	2	2.5	2.5	2.5
ปรับด้วยไคโทซานร้อยละ 2	ภาวะแห้ง	3.5	3	3	3.5
	ภาวะเปียก	3	2.5	3	3
ปรับด้วยไคโทซานร้อยละ 3	ภาวะแห้ง	3.5	3.5	3	4
	ภาวะเปียก	3	2.5	3	2.5
ปรับด้วยไคโทซานร้อยละ 4	ภาวะแห้ง	3.5	3.5	3	3.5
	ภาวะเปียก	3	2.5	3	3
ปรับด้วยไกลซีนร้อยละ 5	ภาวะแห้ง	3.5	3	3	3
	ภาวะเปียก	2	2.5	2	2.5
ปรับด้วยไกลซีนร้อยละ 10	ภาวะแห้ง	3.5	3	3.5	3.5
	ภาวะเปียก	2	2	2.5	2.5
ปรับด้วยไกลซีนร้อยละ 15	ภาวะแห้ง	3.5	3.5	3.5	3.5
	ภาวะเปียก	2.5	2.5	3	2.5
ปรับด้วยไคโทซานร้อยละ 1 + ไกลซีนร้อยละ 15	ภาวะแห้ง	3.5	3.5	3.5	4
	ภาวะเปียก	3.5	2.5	3	3
ปรับด้วยไคโทซานตัดแปร DBIC ร้อยละ 0.1	ภาวะแห้ง	3	2.5	2.5	2.5
	ภาวะเปียก	2.5	2.5	1.5	1.5
ปรับด้วยไคโทซานตัดแปร HTACC ร้อยละ 0.1	ภาวะแห้ง	3	3	3	3.5
	ภาวะเปียก	2	2.5	2	2.5

* สีตกคิด: 5 = ไม่มีการตกติดของสี; 4 = สีตกติดเล็กน้อย; 3 = สีตกติดพอสังเกตเห็นได้; 2 = สีตกติดค่อนข้างมาก; 1 = สีตกติดมาก

4.11 ผลของความสัมพันธ์ระหว่างสารปรับสภาพผิวผ้าชนิดต่าง ๆ และหมึกพิมพ์อิงค์เจ็ตสีต่าง ๆ ต่อคุณภาพผ้าพอลิเอสเตอร์พิมพ์

4.11.1 ค่า zeta-potential ของผ้าพอลิเอสเตอร์ สารปรับสภาพผิวผ้าชนิดต่าง ๆ และหมึกพิมพ์อิงค์เจ็ตสีต่าง ๆ แสดงในตารางที่ 4.7

ตารางที่ 4.7 ค่า zeta-potential ของผ้าพอลิเอสเตอร์ สารปรับสภาพผิวผ้าชนิดต่าง ๆ และหมึกพิมพ์อิงค์เจ็ตสีต่าง ๆ

หมึกพิมพ์ สี	สารทดสอบ			ค่าเฉลี่ย zeta- potential (mV)
	สารปรับสภาพผิวผ้า	ผ้าไม่ปรับ สภาพผิว ผ้า	ผ้าปรับสภาพผิวผ้า ด้วยสารปรับสภาพ	
ม่วงแดง				-56.5
เหลือง				-34.7
ฟ้าเขียวอ่อน				-43.1
ดำอ่อน				-36.7
	ไคโทซานร้อยละ 1			83.4
	ไคโทซาน + ไกลซีนร้อยละ 5			65.1
	ไกลซีนร้อยละ 5			24.7
	DBIC ร้อยละ 1			73.2
	HTACC ร้อยละ 0.1			36.6
		ผ้าไม่ปรับ		-22.6
			ไคโทซานร้อยละ 1	-21.6
			HTACC ร้อยละ 0.1	-23.1
			ไกลซีนร้อยละ 5	-26.4
			ไกลซีนร้อยละ 15 +	-28.8
			ไคโทซานร้อยละ 1	
			DBIC ร้อยละ 0.1	-24.6

จากตารางที่ 4.7 พบว่า หมึกพิมพ์อิงค์เจ็ตสีม่วงแดง สีเหลือง สีฟ้าเขียวอ่อน และ สีดำอ่อน มีค่า zeta-potential เป็นลบ โดยสีม่วงแดงมีค่าเป็นลบมากที่สุดและสีเหลืองมีค่าเป็นลบน้อยที่สุด

ในขณะที่ผ้าพอลิเอสเตอร์ก็มีค่า zeta-potential เป็นลบเหมือนกัน ดังนั้น การพิมพ์ผ้าพอลิเอสเตอร์ที่ไม่ผ่านการปรับสภาพผิวผ้านี้ด้วยหมึกพิมพ์อิงค์เจ็ตที่มีประจุเป็นลบ จึงทำให้ผ้าดูดซึมหมึกไม่ดี เพราะผลส่วนหนึ่งจากการมีประจุลบที่เหมือนกัน ทำให้ผ้าพิมพ์ที่ได้มีขอบเขตสีแคบ ไม่ทนต่อการซักโดยหลังการซัก ระดับสีเปลี่ยนไปในระดับที่ยอมรับไม่ได้ คาดว่า พันธะที่ยึดระหว่างผ้ากับหมึกไม่ใช่พันธะที่แข็งแรงดังเช่นพันธะไอออนิก

สำหรับสารปรับสภาพผิวผ้าที่ใช้ในการทดลองได้แก่ ไคโทซาน ไกลซีน ไคโทซานดัดแปร DBIC และ HTACC พบว่า สารปรับสภาพผิวผ้าทั้งหมดมีค่า zeta-potential เป็นบวก ดังนั้น ผ้าพอลิเอสเตอร์จึงดูดซึมสารปรับสภาพผิวผ้าเหล่านี้ได้ดี และทำให้สภาพผิวผ้าพอลิเอสเตอร์เปลี่ยนไปด้วย ผลของการมีสารปรับสภาพผิวผ้าเหล่านี้ขึ้นอยู่กับค่า zeta-potential ของผ้าพอลิเอสเตอร์ที่ปรับสภาพเหล่านี้จะอยู่ในช่วงใกล้เคียงกัน อย่างไรก็ตาม ผลของสารปรับพื้นผิวแต่ละชนิดที่มีต่อคุณภาพการพิมพ์นั้นขึ้นอยู่กับปัจจัยหลายอย่าง เช่น โครงสร้างของสาร ความเข้มข้นของสาร ชนิดของประจุ รวมไปถึงชนิดของตัวทำละลายของสารปรับสภาพผิวผ้าด้วย หรือการเปลี่ยนความสามารถในการรับน้ำของผ้าพอลิเอสเตอร์ด้วยสารปรับสภาพผิวผ้าเหล่านี้ ซึ่งเป็นเรื่องซับซ้อนที่ต้องอาศัยข้อมูลหลาย ๆ ด้านมาวิเคราะห์ ดังนั้น ค่า zeta-potential เพียงค่าเดียว จึงไม่สามารถใช้อธิบายปฏิกริยาระหว่างผ้าที่ปรับสภาพผิวผ้ากับหมึกพิมพ์อิงค์เจ็ตที่ใช้พิมพ์ได้ ดังจะเห็นได้ว่าค่า zeta-potential ของไคโทซานดัดแปร HTACC ความเข้มข้นร้อยละ 0.1 โดยน้ำหนักมีค่าเป็นบวก (36.6) น้อยกว่าไคโทซาน (83.4) แต่สามารถเพิ่มคุณภาพผ้าพอลิเอสเตอร์พิมพ์ได้ในหลาย ๆ ด้าน ไม่ว่าจะเป็นการเพิ่มขอบเขตสี ความอึดตัวสี ความคงทนของสีต่อการซัก และให้ผ้าที่มีความแข็งแรงกระด้างน้อยที่สุด

4.11.2 การทดสอบพฤติกรรมดูดซึมของผ้า

พฤติกรรมดูดซึมของผ้าสามารถทดสอบได้ด้วยวิธี wicking test ตามมาตรฐาน INDA IST 10.0-70 Method 10.3 ผลของสารปรับสภาพผิวผ้าแสดงในตารางที่ 4.8 จากการทดสอบพบว่า ผ้าพอลิเอสเตอร์ที่ไม่ปรับสภาพผิวผ้า และผ้าพอลิเอสเตอร์ที่ผ่านการปรับสภาพผิวผ้ามีพฤติกรรมดูดซึมค่อนข้างเป็นแบบแอนไอโซทรอปี (anisotropy) ซึ่งจะมีความสัมพันธ์กับทิศทางของด้ายพุ่งและด้ายยืน ในอัตราส่วน P/F ที่เป็น 1 จะเห็นว่า พฤติกรรมดูดซึมจะเหมือนกันทั้งแนวด้ายพุ่งและด้ายยืน ส่วนค่าอัตราส่วน W/O ของผ้าพอลิเอสเตอร์ที่ไม่มีการปรับสภาพนั้น มีค่าต่ำกว่า 1 แสดงว่าความไม่ชอบน้ำสูง เมื่อใช้สารละลายไคโทซานปรับสภาพผิวผ้าพบว่า ผ้าที่ได้ยังมีความไม่ชอบน้ำมากขึ้น ตรงกันข้ามกับการใช้สารละลายไกลซีนที่เพิ่มความชอบน้ำให้กับผ้าพอลิเอสเตอร์ ยิ่งเพิ่มความเข้มข้นของไกลซีน ความชอบน้ำของผ้าก็จะยิ่งเพิ่มมากขึ้น สำหรับสารละลายผสมของไคโทซานกับไกลซีนให้ผลไปทางไคโทซานมากกว่าโดยทำให้ผ้ามีความชอบน้ำลดลง สารละลายไคโทซานดัดแปร DBIC ก็ทำให้ผ้ามีความชอบน้ำลดลง ในขณะที่สารละลายไคโทซานดัดแปร

HTACC ความเข้มข้นร้อยละ 0.1 ทำให้ผ้ามีความขอบน้ามากขึ้นและให้ค่า W/O ใกล้เคียงกับ สารละลายไกลซินความเข้มข้นร้อยละ 15

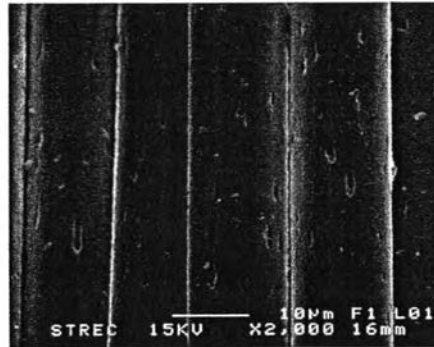
ความขอบน้าของผ้าพอลิเอสเตอร์ที่เพิ่มขึ้นนี้ ทำให้ผ้าพอลิเอสเตอร์สามารถรับหมึกพิมพ์ อิงก์เจ็ทฐานน้ำได้ดีขึ้น ซึ่งผลนี้น่าจะเป็นปัจจัยหนึ่งที่มีผลต่อขอบเขตสีและความอึดตัวสี มี แนวโน้มสอดคล้องกัน ดังนั้น ผ้าที่มีสารละลายไกลซินความเข้มข้นร้อยละ 15 และสารละลายไค โทซานดัดแปร HTACC ความเข้มข้นร้อยละ 1 จึงมีขอบเขตสีกว้าง ความอึดตัวสีสูง และความเข้ม สีมีค่าสูงด้วย ในขณะที่สารละลายไคโทซานดัดแปร DBIC สารละลายไคโทซานและสารละลาย ผสมของไคโทซานกับไกลซิน มีขอบเขตสีแคบ และความอึดตัวสีใกล้เคียงกัน

ตารางที่ 4.8 อัตราส่วนการดูดซึมของน้ำ (W) และ 2 – ออกทานอล (2-octanol (O))

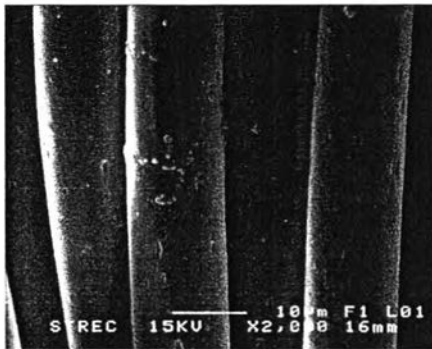
ลักษณะของผ้า	สารทดสอบ	ระยะ	ระยะ	P/F	W/O เฉลี่ย
		แนวยืน (P)	แนวพุ่ง (F)		
ไม่มีสารปรับสภาพผิวผ้า	W	4.2	5.1	0.82	0.72
	O	5.6	7.4	0.75	
ปรับด้วยไคโทซานร้อยละ 1	W	2.6	3.3	0.79	0.45
	O	5.8	7.4	0.78	
ปรับด้วยไคโทซานร้อยละ 4	W	2.8	3.1	0.88	0.42
	O	6.1	7.9	0.77	
ปรับด้วยไกลซินร้อยละ 5	W	4.5	4.4	1.03	0.91
	O	6.4	6.9	0.92	
ปรับด้วยไกลซินร้อยละ 15	W	3.8	3.1	1.21	1.05
	O	5.8	6.9	0.83	
ปรับด้วยไคโทซานร้อยละ 1 + ไกลซินร้อยละ 15	W	2.2	3.1	0.71	0.46
	O	5	6.8	0.74	
ปรับด้วยไคโทซานดัดแปร DBIC ร้อยละ 0.1	W	3.7	3.7	1	0.62
	O	5.4	6.6	0.83	
ปรับด้วยไคโทซานดัดแปร HTACC ร้อยละ 0.1	W	4.7	5.9	0.8	1.04
	O	4.2	6.3	0.67	

4.11.3 ตรวจสอบพื้นผิวผ้าที่ปรับสภาพด้วยสารปรับสภาพผิวดังต่าง ๆ ด้วย scanning electron microscopy (SEM)

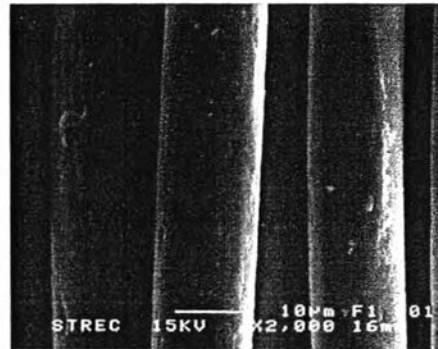
ภาพถ่าย SEM ของผ้าที่ไม่ปรับและปรับสภาพด้วยสารปรับสภาพผิวดังต่าง ๆ แสดงในภาพที่ 4.20-4.23



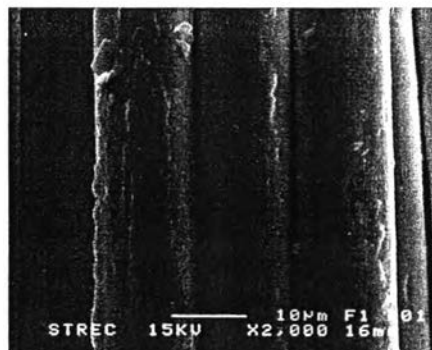
ก.



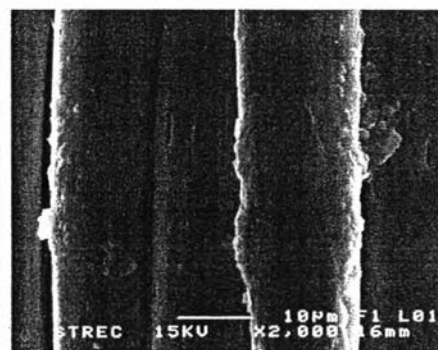
ข.



ค.



ง.

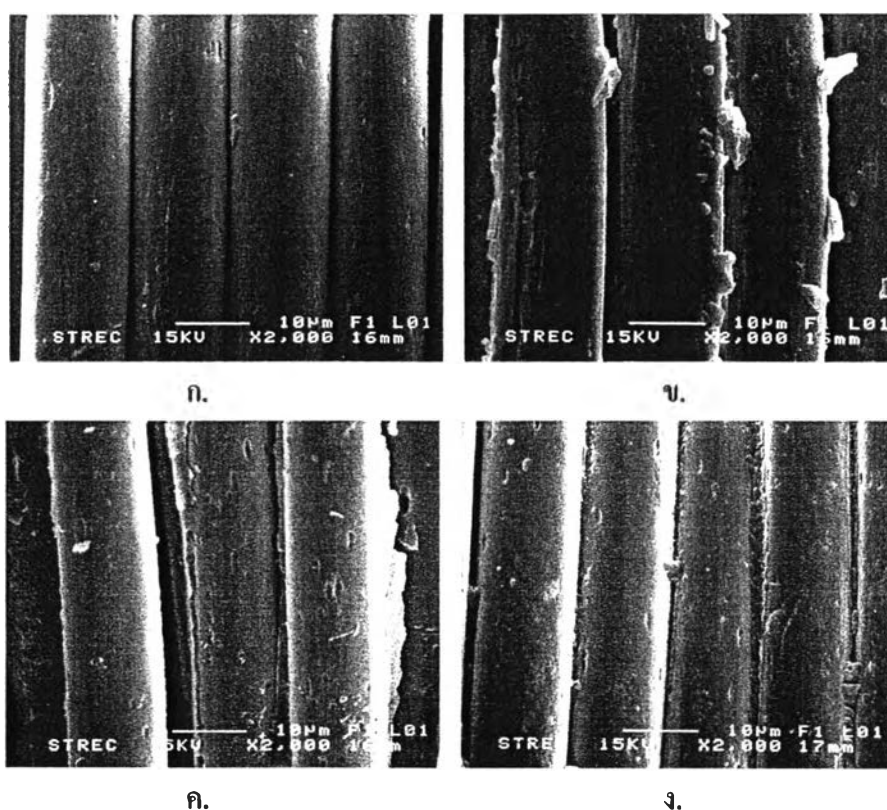


จ.

ภาพที่ 4.20 ภาพถ่าย SEM ของ ก. ผ้าพอลิเอสเตอร์ที่ไม่มีสารปรับสภาพผิวผ้า และผ้าพอลิเอสเตอร์ปรับสภาพผิวผ้าด้วยสารละลายโคโทซานความเข้มข้นต่าง ๆ ข. ร้อยละ 1 โดยน้ำหนัก ค. ร้อยละ 2 โดยน้ำหนัก ง. ร้อยละ 3 โดยน้ำหนัก จ. ร้อยละ 4 โดยน้ำหนัก

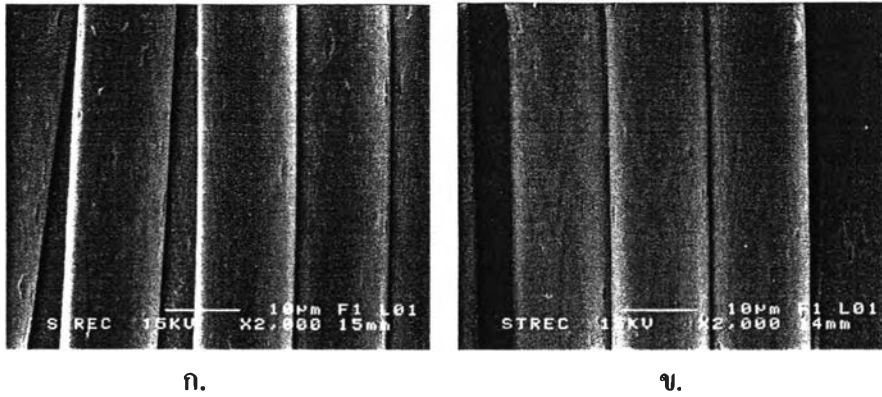
จากภาพที่ 4.20 พบว่า พื้นผิวเส้นใยพอลิเอสเตอร์ (ภาพ ก.) มีร่องเล็ก ๆ ตื้น ๆ กระจายอยู่ทั่วไป เส้นใยไม่มีขุย ขนาดเส้นแต่ละเส้นมีขนาดใกล้เคียงกัน เมื่อปรับสภาพผิวดังด้วยสารละลาย

โคโทซานที่ความเข้มข้นต่าง ๆ พบว่า ที่ความเข้มข้นร้อยละ 1 ร่องเล็ก ๆ บนเส้นใยพอลิเอสเตอร์มีความลึกน้อยลง จนเกือบมองไม่เห็นร่องในบางบริเวณ เมื่อใช้ความเข้มข้นเพิ่มขึ้นจะไม่พบร่องบนเส้นใยพอลิเอสเตอร์ เนื่องจากมีโคโทซานอยู่บนเส้นใยมากขึ้น และพบการรวมตัวกันของโคโทซานในบางบริเวณบนเส้นใยทำให้เส้นใยดูไม่เรียบสม่ำเสมอทั้งเส้น โดยเฉพาะเมื่อเพิ่มความเข้มข้นเป็นร้อยละ 4 พบว่า มีสารเกาะอยู่บนเส้นใยและระหว่างเส้นใยในปริมาณมากอย่างเห็นได้ชัด ซึ่งเป็นสาเหตุที่ทำให้ผ้าพอลิเอสเตอร์มีความแข็งแรงกระด้างมากขึ้นเมื่อเพิ่มความเข้มข้นของสารละลายโคโทซานที่ใช้ปรับสภาพผิวผ้า



ภาพที่ 4.21 ภาพถ่าย SEM ของผ้าพอลิเอสเตอร์ปรับสภาพผิวผ้าด้วยสารละลายไกลซินความเข้มข้นต่าง ๆ และสารละลายผสมไกลซินกับโคโทซาน ก. ร้อยละ 5 โดยน้ำหนัก ข. ร้อยละ 10 โดยน้ำหนัก ค. ร้อยละ 15 โดยน้ำหนัก ง. ผ้าพอลิเอสเตอร์ปรับสภาพผิวผ้าด้วยสารละลายผสมไกลซินร้อยละ 15 กับโคโทซานร้อยละ 1 โดยน้ำหนัก

จากภาพที่ 4.21 เมื่อใช้ไกลซินความเข้มข้นร้อยละ 5 ทำให้มองไม่เห็นร่องเล็ก ๆ บนเส้นใย เนื่องจากไกลซินเคลือบติดอยู่บนเส้นใยช่วยปิดร่องเหล่านั้น เมื่อเพิ่มความเข้มข้นเป็นร้อยละ 10 พบว่าเส้นใยไม่เรียบสม่ำเสมอมากขึ้น และมีผลของไกลซินเกาะตามเส้นใย เพราะปริมาณของไกลซินที่อยู่บนเส้นใยมีมากขึ้น ยิ่งเพิ่มความเข้มข้นเป็นร้อยละ 15 ยิ่งพบว่า มีสารเกาะอยู่ระหว่างเส้นใยมากขึ้นอย่างเห็นได้ชัด เป็นสาเหตุที่ทำให้ผ้าพอลิเอสเตอร์มีความแข็งแรงกระด้างมากขึ้น



ภาพที่ 4.22 ภาพถ่าย SEM ของเส้นใยพอลิเอสเตอร์ที่ปรับสภาพผิวผ้าด้วยสารละลายโคโทซานดัดแปร โคโทซานดัดแปร DBIC ความเข้มข้นร้อยละ 0.1 โดยน้ำหนัก ข. โคโทซานดัดแปร HTACC ความเข้มข้นร้อยละ 0.1 โดยน้ำหนัก

จากภาพที่ 4.22 พบว่า เส้นใยพอลิเอสเตอร์ของผ้าที่ปรับสภาพผิวผ้าด้วยสารละลายโคโทซานดัดแปร DBIC และ HTACC ความเข้มข้นร้อยละ 0.1 โดยน้ำหนัก มีลักษณะเรียบใกล้เคียงกับผ้าที่ไม่ปรับสภาพผิวผ้า แต่ร่องเล็ก ๆ บนผ้ามีลักษณะตื้นมากกว่า ทั้งนี้ เพราะมีสารปรับสภาพเคลือบอยู่บนเส้นใย การที่เส้นใยมีลักษณะคล้ายเดิมทำให้ความแข็งแรงกระด้างของผ้าที่ใช้สารทั้ง 2 ชนิดปรับสภาพผิวผ้ามีค่าใกล้เคียงกับผ้าที่ไม่ปรับสภาพ

ผลการทดลองนี้สอดคล้องกับผลในเรื่องความแข็งแรงกระด้างของผ้า จึงยืนยันได้ว่า ชนิดและความเข้มข้นของสารปรับสภาพผิวผ้ามีผลต่อความแข็งแรงกระด้างของผ้า เนื่องจากเส้นใยพอลิเอสเตอร์มีสารเหล่านี้ยึดอยู่บนเส้นใยและระหว่างเส้นใยนั่นเอง